



# 第六章 数字信号的频带传输

---

信息与通信工程学院

无线信号处理与网络实验室(WSPN)

智能计算与通信研究组 (IC<sup>2</sup> )

彭岳星

[yxpeng@bupt.edu.cn](mailto:yxpeng@bupt.edu.cn)

6119 8066 ext.2



## 6.4 M进制数字调制

### 内容

- 数字调制信号的矢量表示
- 统计判决理论
- AWGN下的最佳接收
- MASK
- MPSK
- MQAM
- MFSK
- 恒包络连续相位调制

### 核心问题

- 信号表示
- 功率谱密度
- 最佳接收
- 性能分析
  - 误码率性能
  - 功率效率
  - 频谱效率



## 6.4.1 数字调制信号的矢量表示

---

- 矢量表示能简化M进制信号的产生及解调结构，误码率性能分析更简单
  - 正交矢量空间
  - 正交信号空间
  - M进制线性数字调制信号波形的矢量表示



## 6.4.1 正交矢量空间

- 若 $N$ 个相互正交的能量归一化矢量组 $\{\mathbf{e}_1, \mathbf{e}_2, \dots, \mathbf{e}_N\}$ 形成一个完备的正交坐标系，那么任意一个矢量 $\mathbf{V}$ 可表示为在 $N$ 个坐标轴上的分矢量的几何和：

$$\mathbf{V} = \sum_{i=1}^N v_i \mathbf{e}_i = [v_1, v_2, \dots, v_N]$$

$$\text{其中： } v_i = \langle \mathbf{V}, \mathbf{e}_i \rangle = \mathbf{V}^T \mathbf{e}_i$$

$\{\mathbf{e}_1, \mathbf{e}_2, \dots, \mathbf{e}_N\}$  构成了空间的一组标准正交基/正交坐标系



## 6.4.1 数字调制信号的矢量表示

坐标系下的表示与信号的均方误差:

$$\begin{aligned} E_e &= \int_{-\infty}^{\infty} [s(t) - \sum_{i=1}^N s_i f_i(t)]^2 dt \\ &= \int_{-\infty}^{\infty} s^2(t) dt - 2 \sum_{i=1}^N s_i \int_{-\infty}^{\infty} f_i(t) s(t) dt + \int_{-\infty}^{\infty} [\sum_{i=1}^N s_i f_i(t)]^2 dt \\ &= E_s - 2 \sum_{i=1}^N s_i^2 + \sum_{i=1}^N s_i^2 \int_{-\infty}^{\infty} f_i^2(t) dt \\ &= E_s - \sum_{i=1}^N s_i^2 \end{aligned}$$

当 $E_e = 0$ 时,  $E_s = \sum_{i=1}^N s_i^2$ , 即有:  $s(t) = \sum_{i=1}^N s_i f_i(t)$

如果对每个能量有限信号进行正交展开时均能满足 $E_e = 0$ , 则称正交函数集 $\{f_i(t)\}$ 是完备的。

## 6.4.1 数字调制信号的矢量表示

- 信号 $s(t)$ 的矢量表示(几何表示)

$$\mathbf{s} = [s_1, s_2, \dots, s_N] \sim N \text{ 维信号空间中的一个点}$$

where  $s_n = \int_{-\infty}^{\infty} s(t) \cdot f_n(t) dt \sim s(t)$  在各归一化正交函数 $f_n(t)$ 上的投影

- 用 $\{f_n(t), n=1, 2, \dots, N\}$ 描述 $M$ 个能量有限的信号波形 $\{s_i(t), i=1, \dots, M\}$

$$s_i(t) = \sum_{k=1}^N s_{in} f_n(t), \quad i = 1, 2, \dots, M$$

其中  $s_{in} = \int_{-\infty}^{\infty} s_i(t) \cdot f_n(t) dt, \quad i = 1, 2, \dots, M; \quad n = 1, \dots, N$

可得  $\mathbf{s}_i = [s_{i1}, s_{i2}, \dots, s_{iN}]$ ,  $i = 1, 2, \dots, M$

$$E_i = \int_{-\infty}^{\infty} [s_i(t)]^2 dt = \sum_{i=1}^N s_{in}^2 = |\mathbf{s}_i|^2 \sim \text{矢量模的平方}$$

## 6.4.1 数字调制信号的矢量表示

### ■ 与误码率有关的两个参量

- 两个信号波形或两个信号矢量之间的互相关系数

$$\rho_{mk} = \frac{1}{\sqrt{E_m E_k}} \int_{-\infty}^{\infty} s_m(t) s_k(t) dt$$

$$= \frac{\mathbf{s}_m \cdot \mathbf{s}_k}{\sqrt{E_m E_k}} = \frac{\mathbf{s}_m \cdot \mathbf{s}_k}{|\mathbf{s}_m| \cdot |\mathbf{s}_k|}$$

$E_k \sim s_k(t)$ 的能量  
 $E_m \sim s_m(t)$ 的能量

where  $\mathbf{s}_m \cdot \mathbf{s}_k = \sum_{n=1}^N s_{mn} s_{kn} \sim$  内积

- 表征两个信号之间的相似性
- $\rho \in [-1, +1]$

## 6.4.1 数字调制信号的矢量表示

- 两信号波形或两信号矢量之间的距离(欧氏距离)

$$\begin{aligned}d_{km} &= \left\{ \int_{-\infty}^{\infty} [s_m(t) - s_k(t)]^2 dt \right\}^{1/2} \\&= \left( E_m + E_k - 2\sqrt{E_m E_k} \rho_{km} \right)^{1/2} \\&= |\mathbf{s}_m - \mathbf{s}_k| = \sqrt{\sum_n (s_{mn} - s_{kn})^2}\end{aligned}$$

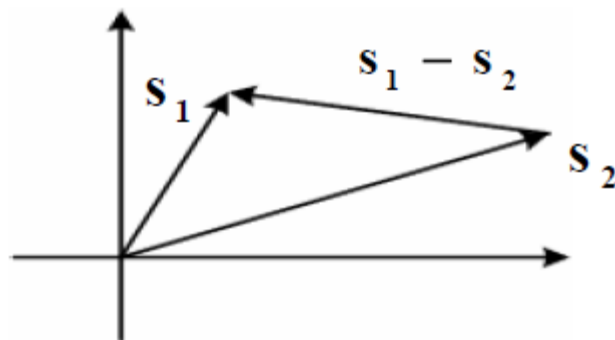
若  $E_k = E_m = E$ ,

$$d_{km} = \sqrt{2E(1 - \rho_{km})} \quad \sim \text{也用来测量两信号之间的相似性}$$



## 6.4.1 数字调制信号的矢量表示

- $M$ 个能量有限的信号波形  
—— $\xrightarrow{\text{映射}}$   $N$ 维信号空间中的 $M$ 个点
- 信号星座： $N$ 维信号空间中的 $M$ 个点的集合，可用几何图形表示——星座图
- 某点矢量长度的平方：信号的能量
- 两点之间的距离：欧氏距离  
距离的平方：两信号波形之差的能量



## 6.4.1 数字调制信号的矢量表示

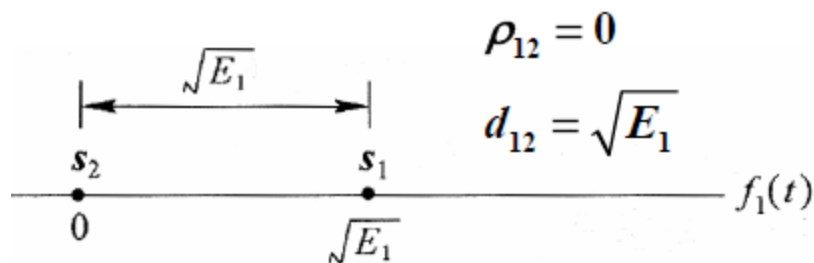
### ■ 例1. OOK信号

$$s(t) = \begin{cases} s_1(t) = \sqrt{\frac{2E_1}{T_b}} \cos \omega_c t \\ s_2(t) = 0 \end{cases} \quad 0 \leq t \leq T_b$$

$$\blacksquare f_1(t) = \sqrt{\frac{2}{T_b}} \cos \omega_c t \quad \longrightarrow \quad \begin{cases} s_1(t) = \sqrt{E_1} f_1(t) \\ s_2(t) = 0 \end{cases}$$

$$\blacksquare s_i = [s_{i1}], \quad s_{i1} = \int_{-\infty}^{\infty} s_i(t) f_1(t) dt, \quad i = 1, 2$$

$$\begin{cases} s_1 = [\sqrt{E_1}] \\ s_2 = [0] \end{cases}$$



## 6.4.1 数字调制信号的矢量表示

### ■ 例2. 正交2FSK信号

$$s(t) = \begin{cases} s_1(t) = \sqrt{2E_b/T_b} \cos \omega_1 t \\ s_2(t) = \sqrt{2E_b/T_b} \cos \omega_2 t \end{cases} \quad 0 \leq t \leq T_b$$

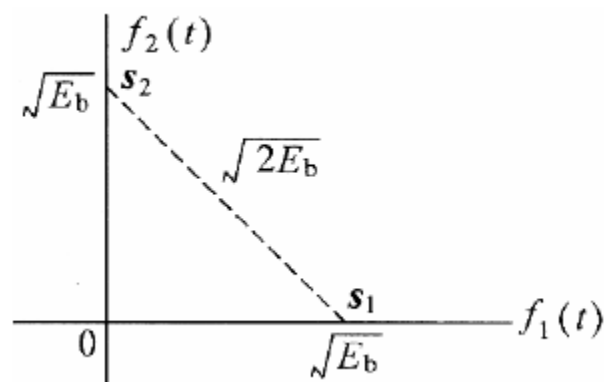
$$f_1 - f_2 = k/2T_b \Rightarrow \rho_{12} = \frac{1}{E_b} \int_{-\infty}^{\infty} s_1(t)s_2(t)dt = 0$$

$$\begin{aligned} f_1(t) &= \sqrt{2/T_b} \cos \omega_1 t \\ f_2(t) &= \sqrt{2/T_b} \cos \omega_2 t \end{aligned} \quad \longrightarrow \quad \begin{cases} s_1(t) = \sqrt{E_b} f_1(t) \\ s_2(t) = \sqrt{E_b} f_2(t) \end{cases}$$

$$\mathbf{s}_1 = [s_{11}, s_{12}] = [\sqrt{E_b}, 0]$$

$$\mathbf{s}_2 = [s_{21}, s_{22}] = [0, \sqrt{E_b}]$$

$$d_{12} = |\mathbf{s}_1 - \mathbf{s}_2| = \sqrt{2E_b}$$



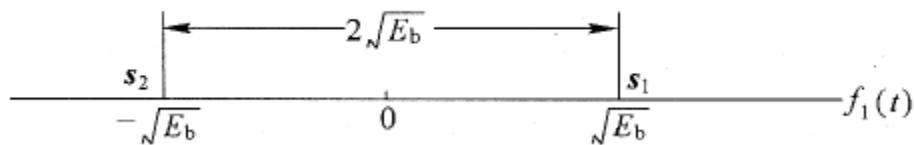
## 6.4.1 数字调制信号的矢量表示

### ■ 例3. 2PSK信号

$$s(t) = \begin{cases} s_1(t) = \sqrt{2E_b/T_b} \cos \omega_c t \\ s_2(t) = -\sqrt{2E_b/T_b} \cos \omega_c t \end{cases} \quad 0 \leq t \leq T_b$$

$$\blacksquare f_1(t) = \sqrt{2/T_b} \cos \omega_c t \quad \longrightarrow \quad \begin{cases} s_1(t) = \sqrt{E_b} f_1(t) \\ s_2(t) = -\sqrt{E_b} f_1(t) \end{cases}$$

$$\blacksquare s_1 = [\sqrt{E_b}]$$
$$s_2 = [-\sqrt{E_b}]$$



$$\blacksquare d_{12} = |s_1 - s_2| = 2\sqrt{E_b}$$

$$\rho_{12} = -1$$

## 6.4.1 标准正交基的构造: G-S法

■ 假设通信信道中有 $M$ 个信号波形 $s_i(t)$ 用于信息传输, 据此可构造一个由 $N \leq M$ 个标准正交波形构成的集合

■  $f_1(t) = \frac{s_1(t)}{\sqrt{E_1}}, \quad E_1 = \int_{-\infty}^{\infty} s_1^2(t) dt \sim s_1(t) \text{ 的能量}$

■  $f_2(t) = \frac{d_2(t)}{\sqrt{E_2}}, \quad E_2 = \int_{-\infty}^{\infty} d_2^2(t) dt$

其中  $d_2(t) = s_2(t) - c_{21}f_1(t)$

$$c_{21} = \int_{-\infty}^{\infty} s_2(t)f_1(t) dt \sim s_2(t) \text{ 在 } f_1(t) \text{ 上的投影}$$

◦ ◦ ◦ ◦ ◦ ◦

■  $f_k(t) = \frac{d_k(t)}{\sqrt{E_k}}, \quad E_k = \int_{-\infty}^{\infty} d_k^2(t) dt$

其中  $d_k(t) = s_k(t) - \sum_{i=1}^{k-1} c_{ki}f_i(t)$

$$c_{ki} = \int_{-\infty}^{\infty} s_k(t)f_i(t) dt, \quad i = 1, 2, \dots, k-1$$

## 6.4.1 数字调制信号的矢量表示

- $N$ 维信号空间的一组基:

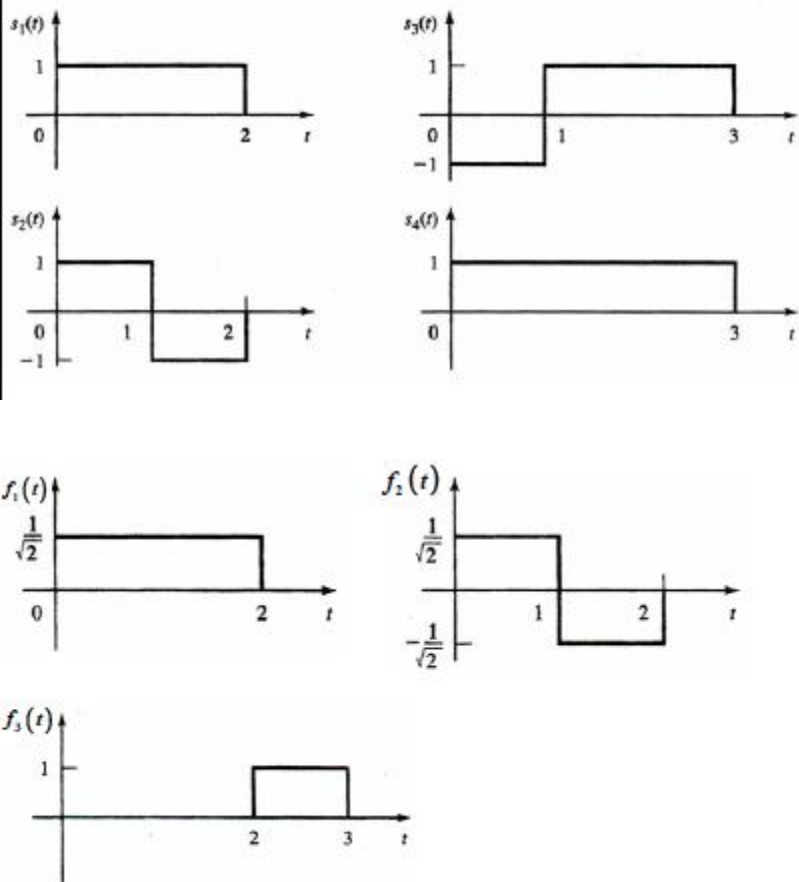
由 $N$ 个标准正交波形构成的集合 $\{f_n(t), n=1, \dots, N\}$ 。

$$\int_{-\infty}^{\infty} f_n(t) f_m(t) dt = \begin{cases} 0 & m \neq n \\ 1 & m = n \end{cases}$$

若  $M$  个信号波形线性无关, 则  $N = M$ .

## 6.4.1 数字调制信号的矢量表示

- 例. 对下图所示四波形集进行Gram-Schmidt正交化



- $E_1 = 2, f_1(t) = s_1(t)/\sqrt{2}.$

- $c_{21} = 0, E_2 = 2, f_2(t) = s_2(t)/\sqrt{2}.$

- $c_{31} = 0, c_{32} = -\sqrt{2},$

$$d_3(t) = s_3(t) + \sqrt{2} f_2(t)$$

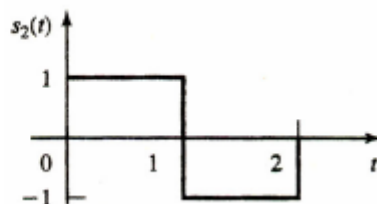
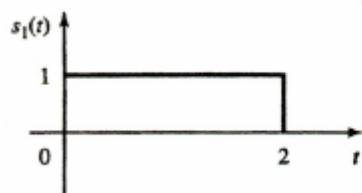
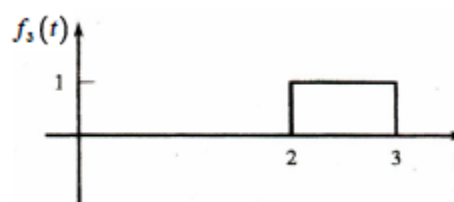
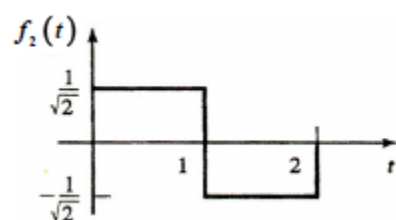
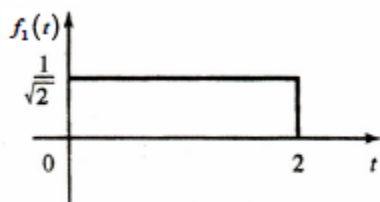
$$f_3(t) = s_3(t) + \sqrt{2} f_2(t).$$

- $c_{41} = \sqrt{2}, c_{42} = 0, c_{43} = 1,$

$$d_4(t) = s_4(t) - \sqrt{2} f_1(t) - f_3(t) = 0$$

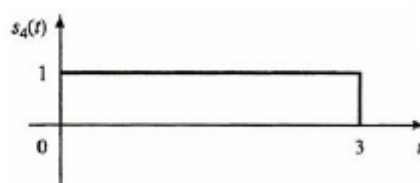
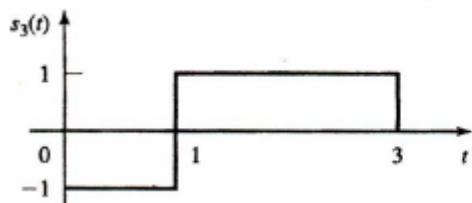
$$\therefore N=3.$$

## 6.4.1 数字调制信号的矢量表示



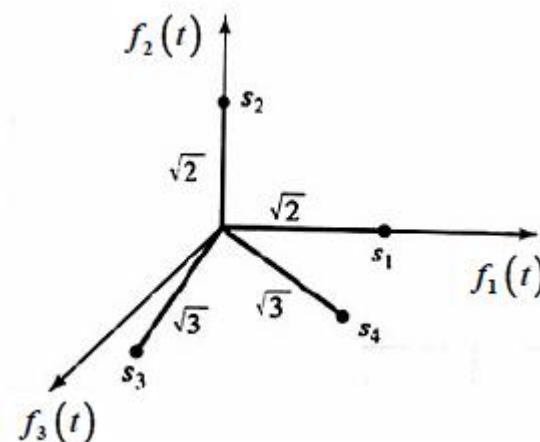
$$\mathbf{s}_1 = (\sqrt{2}, 0, 0)$$

$$\mathbf{s}_2 = (0, \sqrt{2}, 0)$$



$$\mathbf{s}_3 = (0, -\sqrt{2}, 1)$$

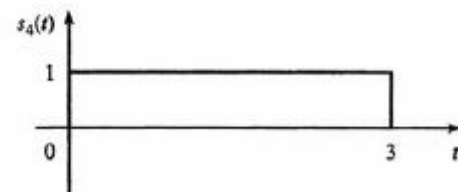
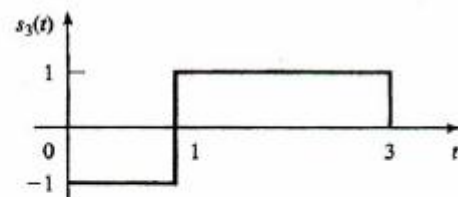
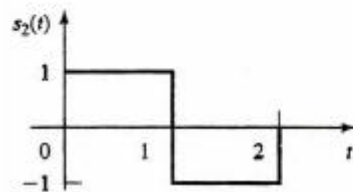
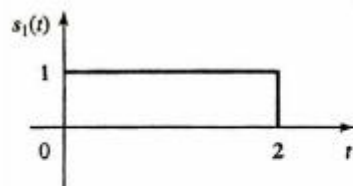
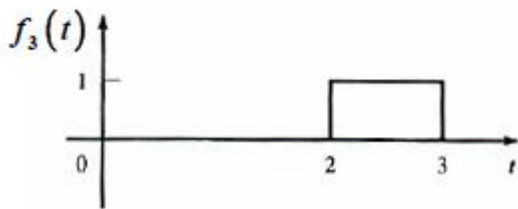
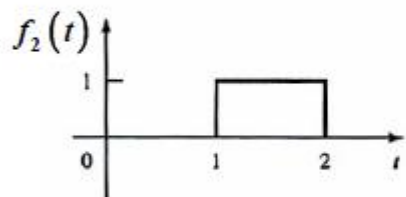
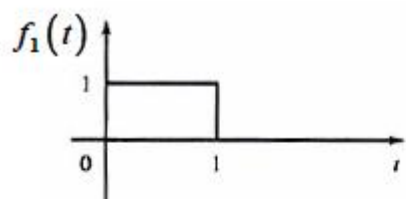
$$\mathbf{s}_4 = (\sqrt{2}, 0, 1)$$





## 6.4.1 数字调制信号的矢量表示

标准正交函数集  $\{f_n(t), n=1, \dots, N\}$  不唯一.



$$s_1 = (1, 1, 0)$$

$$s_2 = (1, -1, 0)$$

$$s_3 = (-1, 1, 1)$$

$$s_4 = (1, 1, 1)$$

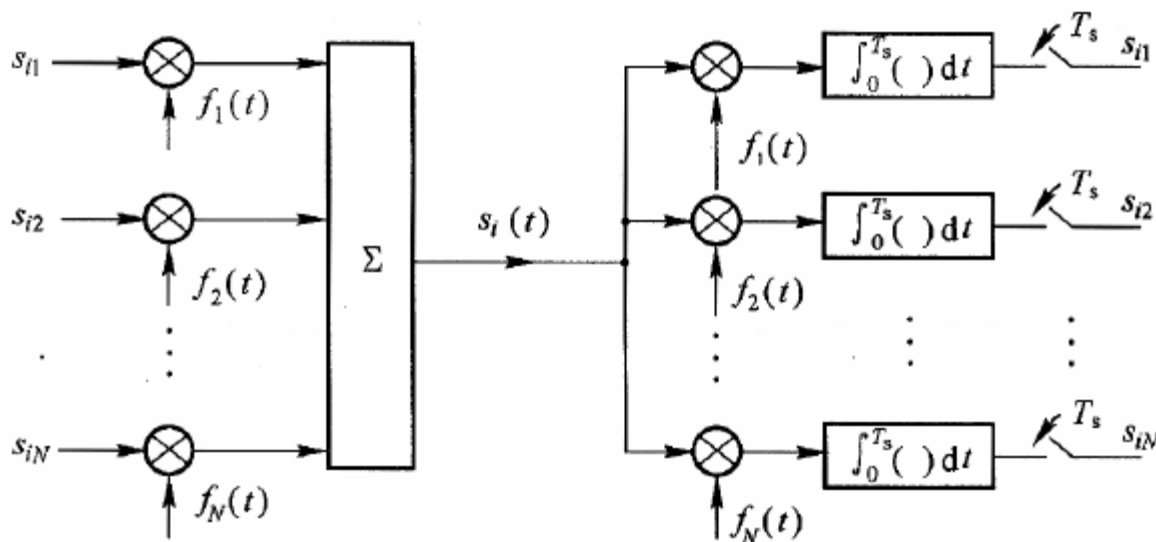
标准正交函数集的变化不改变信号空间的维数、信号矢量的长度及任意两个矢量的内积.

## 6.4.2 统计判决理论

- 信号波形的正交展开

$$s_i(t) \longleftrightarrow s_i = [s_{i1}, s_{i2}, \dots, s_{iN}], \quad i = 1, 2, \dots, M, \quad N \leq M$$

$$s_i(t) = \sum_{k=1}^N s_{ik} f_k(t) \quad \text{where} \quad s_{ik} = \int_0^{T_s} s_i(t) \cdot f_k(t) dt$$



## 6.4.2 统计判决理论

### ■ 问题的提出

- 若在  $0 \leq t \leq T_s$  区间内发送  $M$  进制数字调制信号波形  $\{s_i(t), i=1,2,\dots,M\}$  之一, 信道传输中受到加性高斯白噪声  $n_w(t)$  干扰, 接收到的信号为:

$$r(t) = s_i(t) + n_w(t), \quad i=1,2,\dots,M. \quad 0 \leq t \leq T_s$$

设  $s_i(t)$  为确定信号, 发端发送  $s_i(t)$  的概率(先验概率)为  $P(s_i)$

- 判决: 根据  $r(t)$  判断发端发出的信号波形是哪一个  $s_i(t)$

如何使平均错判概率最小?

统计判决理论要解决的问题: 根据平均错判概率最小的原则设计最佳接收。

## 6.4.2 统计判决理论

- 做出假设

对信源输出的符号/发送的信号波形做出 $M$ 个假设:

$$\{s_i, i=1,2,\dots,M\}$$

先验概率: 每个假设出现的概率  $P(s_i)$

- 信道的转移概率  $s_i(t) + n_w(t) \rightarrow r(t)$

- 观察矢量:  $\mathbf{r} = [r_1, \dots, r_N]$

观察矢量 $\mathbf{r}$ 与 $s_i$ 之间无确定的函数关系,但具有转移概率关系, 即

$$p(\mathbf{r}|s_i) \quad \text{or} \quad P(\mathbf{r}|s_i)$$

$r_i$ 连续

$r_i$ 离散



## 6.4.2 统计判决理论

- 问题一:

$$r(t) \xrightarrow{?} \mathbf{r} = [r_1, r_2, \dots, r_N]$$

$\sim$  有限维观察矢量且为充分统计量

- 问题二:  $p(\mathbf{r}|s_i) = p(r_1, r_2, \dots, r_N | s_i)$

$r_1, r_2, \dots, r_N$  应为相互统计独立的高斯随机变量

## 6.4.2 统计判决理论

- 接收信号波形的正交展开

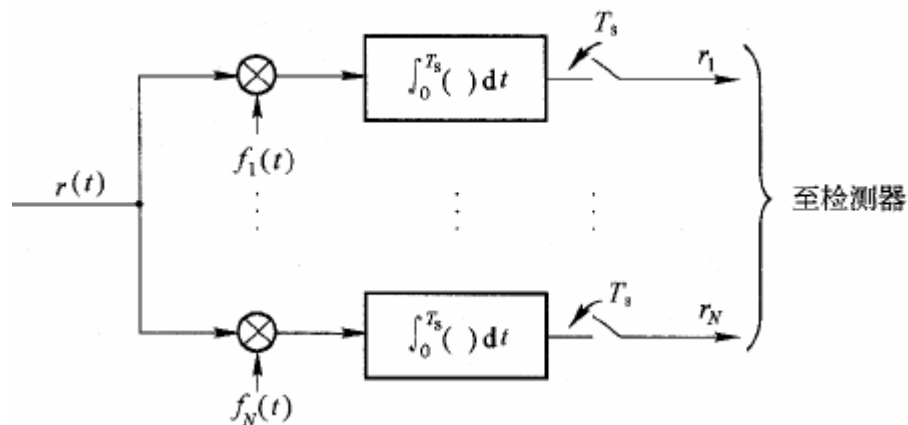
$$r(t) = s_i(t) + n_w(t), \quad i = 1, \dots, M, \quad 0 \leq t \leq T_s$$

→  $\mathbf{r} = [r_1, r_2, \dots, r_N]$  ~ 观察矢量(维数 $N$ 由信号波形 $s_i(t)$ 的维数决定)

$$r_k = \int_0^{T_s} r(t) f_k(t) dt = s_{ik} + n_k, \quad i = 1, \dots, M; k = 1, \dots, N$$

$$\text{其中: } s_{ik} = \int_0^{T_s} s_i(t) \cdot f_k(t) dt, \quad n_k = \int_0^{T_s} n_w(t) \cdot f_k(t) dt$$

可以证明：各 $r_k$ 相互统计独立，且观察矢量 $\mathbf{r}$ 是充分统计量(包含了 $r(t)$ 中所有与判决有关的信息)



## 6.4.2 统计判决理论

### ■ 问题2: $\mathbf{r}$ 的统计特性?

■  $n_k = \int_0^T n_w(t) f_k(t) dt \sim$  高斯随机变量

$$E[n_k] = \int_0^T E[n_w(t)] f_k(t) dt = 0$$

$$E[n_k n_m] = \int_0^T \int_0^T E[n_w(t) n_w(\tau)] f_k(t) f_m(\tau) dt d\tau$$

$$= \int_0^T \int_0^T \frac{N_0}{2} \delta(t - \tau) f_k(t) f_m(\tau) dt d\tau$$

$$= \frac{N_0}{2} \int_0^T f_k(t) f_m(t) dt = \frac{N_0}{2} \delta_{mk} \xrightarrow{m=k} \sigma_n^2 = \frac{N_0}{2}$$

$$\therefore p(n_k) = \frac{1}{\sqrt{2\pi}\sigma_n} \exp\left(-\frac{n_k^2}{2\sigma_n^2}\right) = \frac{1}{\sqrt{\pi N_0}} \exp\left(-\frac{n_k^2}{N_0}\right)$$

$$p(\mathbf{n}) = \prod_{k=1}^N p(n_k) = \frac{1}{(\pi N_0)^{N/2}} \exp\left(-\sum_{k=1}^N \frac{n_k^2}{N_0}\right)$$

## 6.4.2 统计判决理论

$$\blacksquare r_k = s_{ik} + n_k$$

~ 高斯随机变量

$$E[r_k] = E[s_{ik} + n_k] = s_{ik}$$

$$\sigma_r^2 = \sigma_n^2 = \frac{N_0}{2}$$

$$\therefore p(r_k | s_{ik}) = \frac{1}{\sqrt{\pi N_0}} \exp \left[ -\frac{(r_k - s_{ik})^2}{N_0} \right]$$

$$p(\mathbf{r} | s_i) = \prod_{k=1}^N p(r_k | s_{ik}) = \frac{1}{(\pi N_0)^{N/2}} \exp \left[ -\sum_{k=1}^N \frac{(r_k - s_{ik})^2}{N_0} \right]$$

$$= \frac{1}{(\pi N_0)^{N/2}} \exp \left[ -\frac{\|\mathbf{r} - \mathbf{s}_i\|^2}{N_0} \right], \quad i = 1, 2, \dots, M$$



## 6.4.2 统计判决理论

- 问题1:  $\mathbf{r}$  对于发送信号的判决是否统计充分?

$$\begin{aligned} r(t) &= s_i(t) + n_w(t) \\ &= \sum_{k=1}^N s_{ik} f_k(t) + \sum_{k=1}^N n_k f_k(t) + n'(t) = \sum_{k=1}^N r_k f_k(t) + n'(t) \end{aligned}$$

$$\rightarrow n'(t) = n_w(t) - \sum_{k=1}^N n_k f_k(t)$$

$$E[n'(t)r_k] = E[n'(t)s_{ik}] + E[n'(t)n_k] = E[n'(t)n_k]$$

$$= E\left\{\left[n_w(t) - \sum_{j=1}^N n_j f_j(t)\right] n_k\right\} = \int_0^T E[n_w(t)n_w(\tau)] f_k(t) d\tau + \sum_{j=1}^N E(n_j n_k) f_j(t)$$

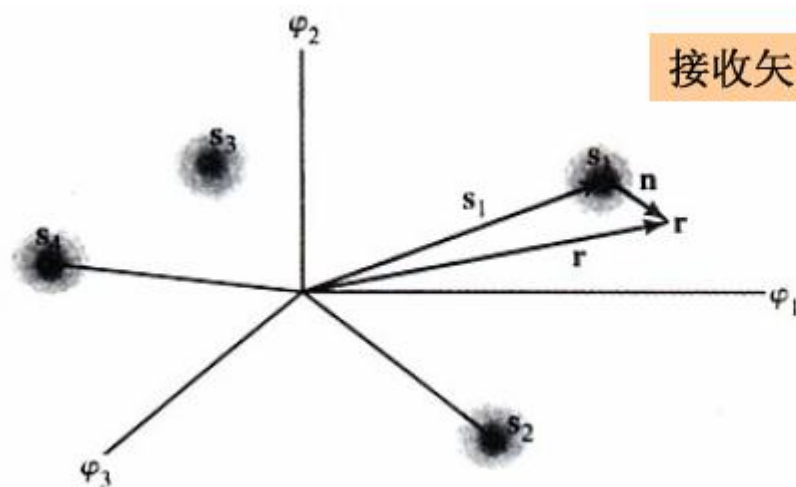
$$= \frac{N_0}{2} f_k(t) - \frac{N_0}{2} f_k(t) = 0$$

$\rightarrow n'(t)$  不包含与判决有关的任何信息

## 6.4.2 统计判决理论

$$\mathbf{r} = \mathbf{s}_i + \mathbf{n} \quad \sim \text{观察矢量空间}$$

其中,  $\mathbf{r} = (r_1, r_2, \dots, r_N)$ ,  $\mathbf{s}_i = (s_{i1}, s_{i2}, \dots, s_{iN})$ ,  $\mathbf{n} = (n_1, n_2, \dots, n_N)$ .



- 信号检测的任务: 根据接收矢量 $\mathbf{r}$ 对发送信号做出判决, 并使正确判决的概率最大.

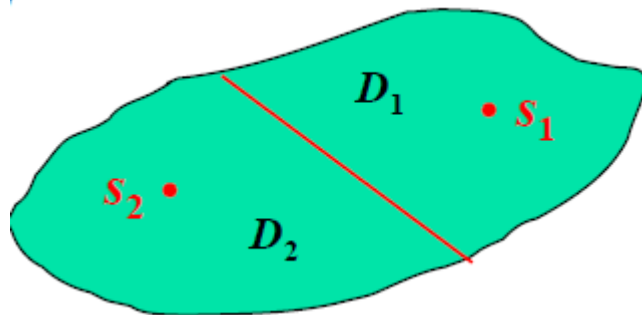
## 6.4.2 统计判决理论

- 选择合适的判决准则:

最小错判概率准则/最大后验概率准则(MAP)

- 最佳地划分判决区域

根据  $P(s_i)$ ,  $p(r|s_i)$  与 MAP 准则确定判决区域  $D_i$ ,  $i=1,2,\dots,M$ .



- 最佳判决: if  $\mathbf{r} \in D_i$ , then  $\hat{s} = s_i$ .

$$P_e = \sum_{i=1}^M P(s_i) \cdot P(\hat{s} \neq s_i | s_i) = \sum_{i=1}^M P(s_i) \cdot P(e | s_i)$$

## 6.4.2 统计判决理论

- 在发 $s_i$ 的条件下，正确判决的概率：

$$P(\hat{s} = s_i | s_i) = \int_{D_i} p(\mathbf{r} | s_i) d\mathbf{r}$$

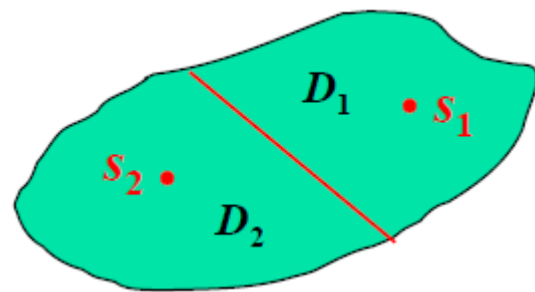
对应的错判概率：

$$P(e | s_i) = P(\hat{s} \neq s_i | s_i) = 1 - \int_{D_i} p(\mathbf{r} | s_i) d\mathbf{r}$$

$$P_e = \sum_{i=1}^M P(s_i) \cdot P(e | s_i) = 1 - \sum_{i=1}^M \int_{D_i} P(s_i) p(\mathbf{r} | s_i) d\mathbf{r}$$

使 $P_e$ 最小的判决规则： $\hat{s} = \arg \max P(s_i) p(\mathbf{r} | s_i)$

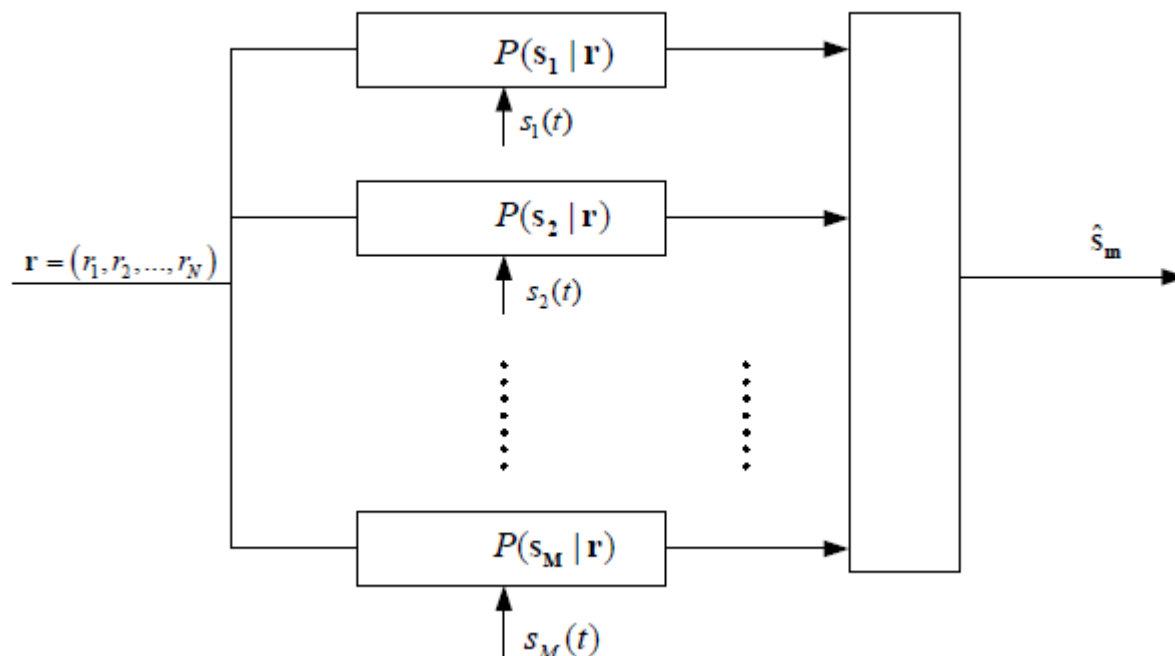
定义后验概率：
$$P(s_i | \mathbf{r}) = \frac{P(s_i) p(\mathbf{r} | s_i)}{p(\mathbf{r})}$$



## 6.4.2 统计判决理论

- 最大后验概率准则(MAP): 根据接收矢量 $\mathbf{r}$ 同时计算 $M$ 个后验概率 $\{P(s_i|\mathbf{r}), i=1,\dots,M\}$ , 选择使 $P(s_i|\mathbf{r})$ 最大的 $s_i$ 作为判决输出, 此时错误判决概率最小.

$$\hat{s} = \arg \max_{s_i} P(s_i | \mathbf{r}) = \arg \max_{s_i} P(s_i) p(\mathbf{r} | s_i)$$



## 6.4.2 统计判决理论

- 最大似然(ML)准则：根据接收矢量 $\mathbf{r}$ 同时计算 $M$ 个似然函数 $\{p(\mathbf{r}|s_i), i=1, \dots, M\}$ ，选择使 $p(\mathbf{r}|s_i)$ 最大的 $s_i$ 作为判决输出。

$$\hat{s} = \arg \max_{s_i} p(\mathbf{r}|s_i),$$

其中  $p(\mathbf{r}|s_i)$  ~ 似然函数

根据Bayes公式, 
$$P(s_i|\mathbf{r}) = \frac{p(\mathbf{r}|s_i)P(s_i)}{p(\mathbf{r})}$$

- 先验等概时, ML准则等价于MAP准则。
- 实际应用中, 信源编码的使用, 可以放心的用ML代替MAP。

## 6.4.2 统计判决理论

- 在AWGN信道条件下,

$$p(\mathbf{r}|s_i) = \prod_{k=1}^N p(r_k | s_{ik}) = \frac{1}{(\pi N_0)^{N/2}} \exp \left[ -\frac{\|\mathbf{r} - \mathbf{s}_i\|^2}{N_0} \right]$$

$$\ln p(\mathbf{r}|s_i) = -\frac{N}{2} \ln(\pi N_0) - \frac{\|\mathbf{r} - \mathbf{s}_i\|^2}{N_0}$$

定义

$$D(\mathbf{r}, \mathbf{s}_i) = \|\mathbf{r} - \mathbf{s}_i\|^2 = \sum_{k=1}^N (r_k - s_{ik})^2, \quad i = 1, 2, \dots, M \quad \sim \text{距离度量}$$

- 对于加性白高斯噪声信道, 基于ML准则的判决规则等价于寻求在距离上最接近于接收信号矢量 $\mathbf{r}$ 的信号 $\mathbf{s}_i$ .

## 6.4.2 统计判决理论

$$\begin{aligned} D(\mathbf{r}, \mathbf{s}_i) &= \sum_{k=1}^N (r_k - s_{ik})^2 = \sum_{k=1}^N r_k^2 - 2 \sum_{k=1}^N r_k s_{ik} + \sum_{k=1}^N s_{ik}^2 \\ &= \|\mathbf{r}\|^2 - 2\mathbf{r} \cdot \mathbf{s}_i + \|\mathbf{s}_i\|^2, \quad i = 1, 2, \dots, M \end{aligned}$$

定义

$$D'(\mathbf{r}, \mathbf{s}_i) = -2\mathbf{r} \cdot \mathbf{s}_i + \|\mathbf{s}_i\|^2, \quad i = 1, 2, \dots, M \quad \sim \text{修正距离度量}$$

$$C(\mathbf{r}, \mathbf{s}_i) = 2\mathbf{r} \cdot \mathbf{s}_i - \|\mathbf{s}_i\|^2, \quad i = 1, 2, \dots, M \quad \sim \text{相关度量}$$

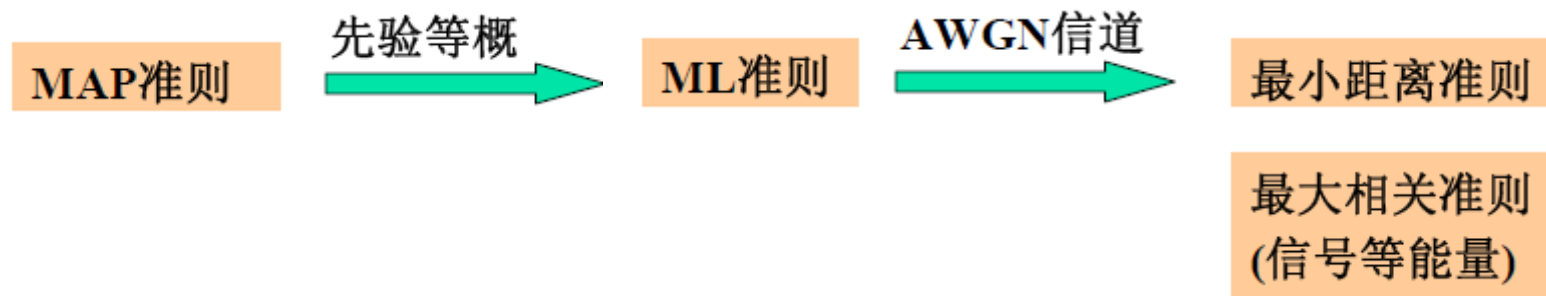
信号等能量


$$C(\mathbf{r}, \mathbf{s}_i) = \mathbf{r} \cdot \mathbf{s}_i$$

- 对于加性白高斯噪声信道，基于ML准则的判决规则等价于计算一组M个相关度量 $C(\mathbf{r}, \mathbf{s}_i)$ ，并选择对应于最大度量的信号 $\mathbf{s}_i$

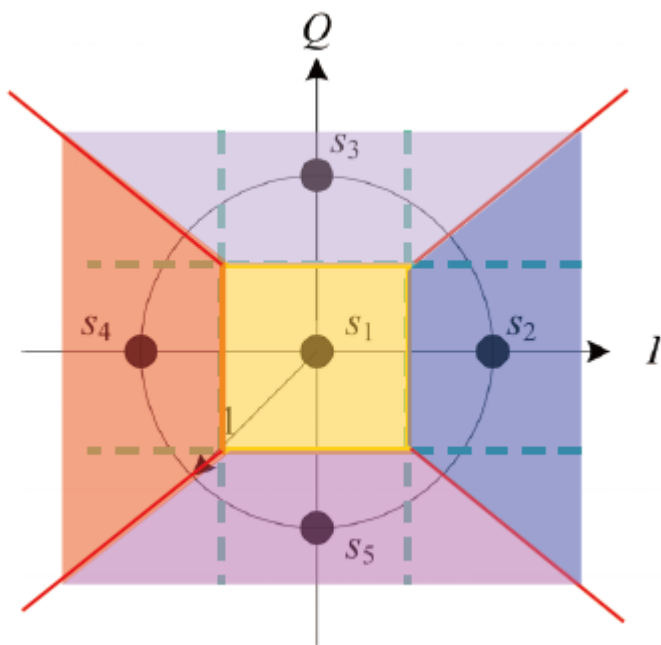


## 6.4.2 统计判决理论



## 6.4.2 统计判决理论

- 某个5进制信号星座如下图所示，若信道噪声是加性白高斯噪声，请画出按最大似然判决准则进行判决时，各符号的判决域。若各符号等概出现，求平均符号能量。



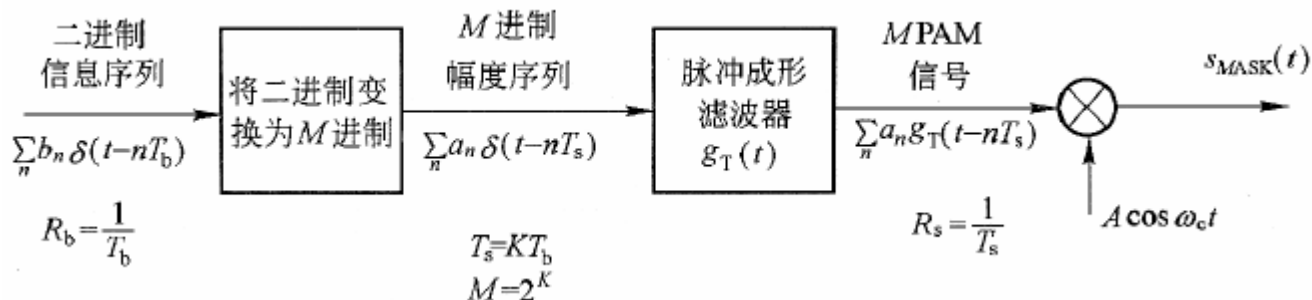
$$\begin{aligned} \blacksquare E_s &= \frac{1}{5} \sum_{i=1}^5 E_i \\ &= \frac{1}{5} [0 + 1^2 + 1^2 + 1^2 + 1^2] \\ &= 0.8 \end{aligned}$$

## 6.4.4 MASK

$M$ 进制符号间隔 $T_s$ 内,载波振幅是 $M = 2^m$ 个电平之一,每种电平对应一个 $M$ 进制符号

$$s_{MASK}(t) = b(t)A\cos\omega_c t = \sum_n a_n g_T(t - nT_s) A\cos\omega_c t$$

$$= a_n A\cos\omega_c t, \quad (n-1)T_s \leq t \leq nT_s$$



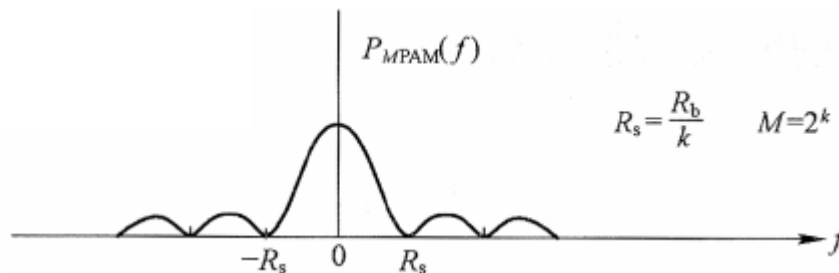
$$P_s(f) = \frac{A^2}{4} [P_b(f - f_c) + P_b(f + f_c)]$$

若 $g_T(t)$ 矩形不归零, $\{a_n\}$ 各电平等概,各符号互不相关且 $E[a_n]=0$ , 则

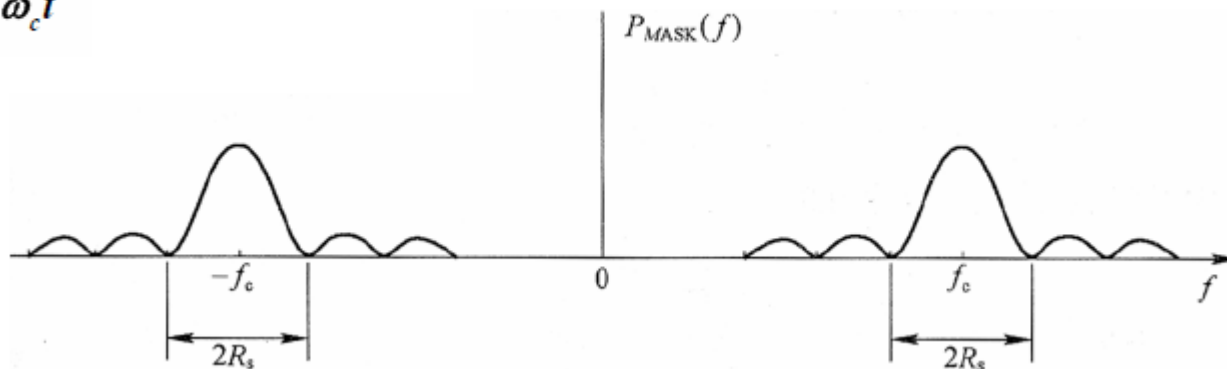
$$P_b(f) = \frac{\sigma_a^2}{T_s} |G_T(f)|^2 = \sigma_a^2 A^2 T_s \text{sinc}^2(fT_s)$$

## 6.4.4 MASK

$$b(t) = \sum_n a_n g_T(t - nT_s)$$



$$s_{MASK}(t) = b(t) \cdot A \cos \omega_c t$$



- 特点：主瓣宽度为  $2R_s$ ，仅取决于符号速率  $R_s = R_b/k$

- 频带利用率：  $\frac{R_s}{2R_s} = \frac{1}{2} \text{Baud/Hz}$  或  $\frac{kR_s}{2R_s} = \frac{k}{2} \text{bit/s/Hz}$

## 6.4.4 MASK

- $0 \leq t \leq T_s$ ,  $b_i(t) = a_i g_T(t)$  其中  $a_i = 2i - 1 = \pm 1, \dots, \pm(M-1)$ ,  $i = -\frac{M}{2} + 1, \dots, \frac{M}{2}$

$$s_i(t) = b_i(t) \cos \omega_c t = a_i g_T(t) \cos \omega_c t \stackrel{\Delta}{=} s_i f_1(t)$$

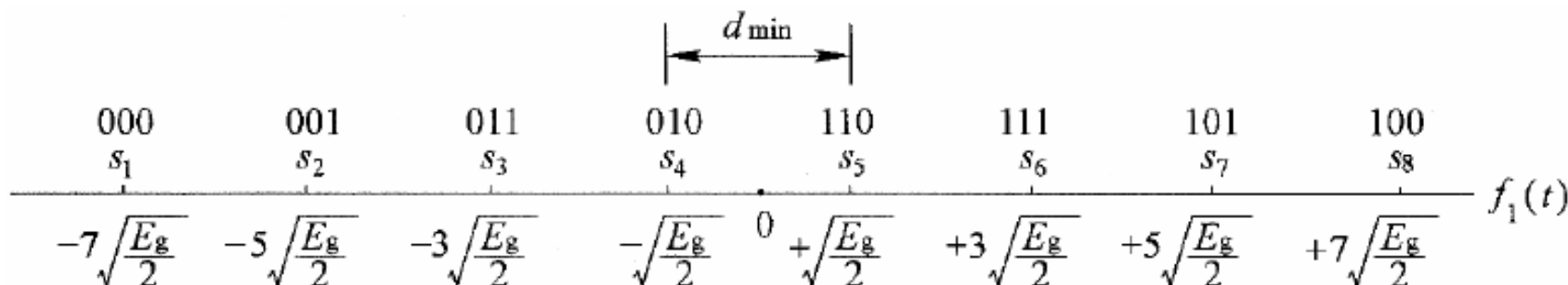
其中:  $f_1(t) = \sqrt{\frac{2}{E_g}} g_T(t) \cos \omega_c t$        $E_g = \int_0^{T_s} g_T^2(t) dt$

$$s_i = \int_0^{T_s} s_i(t) f_1(t) dt = \sqrt{\frac{E_g}{2}} a_i \sim s_i(t) \text{ 在 } f_1(t) \text{ 上的投影}$$

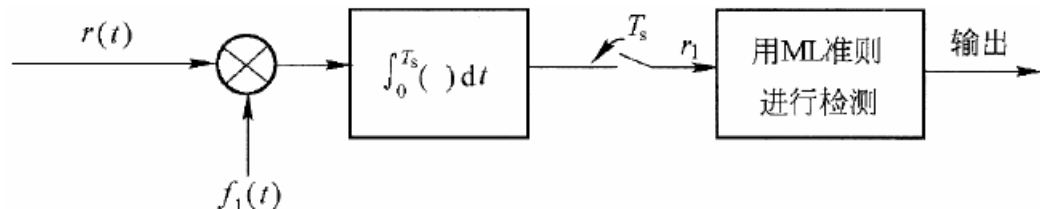
$$s_i = [s_i], \quad i = 1, \dots, M \quad d_{mn} = \sqrt{(s_m - s_n)^2} = \sqrt{\frac{E_g}{2}} |a_m - a_n| = \sqrt{2E_g} |m - n|$$

- 例.  $M=8$ 时的8ASK信号空间图

$$a_i = \pm 1, \pm 3, \pm 5, \pm 7 \quad s_i = \sqrt{\frac{E_g}{2}} a_i, \quad i = 1, 2, \dots, 8 \quad d_{\min} = \sqrt{2E_g}$$



## 6.4.4 MASK



$$\blacksquare r_1 = \int_0^{T_s} r(t) f_1(t) dt = \int_0^{T_s} [s_i(t) + n_w(t)] f_1(t) dt$$

$$= s_i + n, \quad i = 1, \dots, M$$

$$\blacksquare \text{ML准则(等概条件下): } \hat{s} = \arg \max_{s_i} p(r_1 | s_i)$$

$$\blacksquare n = \int_0^{T_s} n_w(t) f_1(t) dt$$

$$E(n) = E \left[ \int_0^{T_s} n_w(t) f_1(t) dt \right] = 0$$

$$D(n) = E \left[ \int_0^{T_s} \int_0^{T_s} n_w(t) n_w(z) f_1(t) f_1(z) dt dz \right]$$

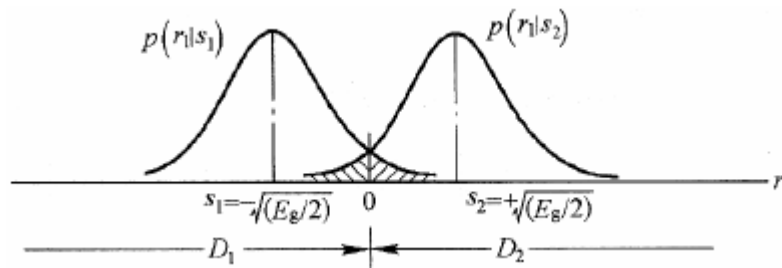
$$= \int_0^{T_s} \int_0^{T_s} \frac{N_0}{2} \delta(t - z) f_1(t) f_1(z) dt dz$$

$$= \frac{N_0}{2}$$

$$\blacksquare r_1 = s_i + n \quad \longrightarrow \quad p(r_1 | s_i) = \frac{1}{\sqrt{2N_0}} \exp \left[ -\frac{(r_1 - s_i)^2}{N_0} \right]$$

## 6.4.4 MASK

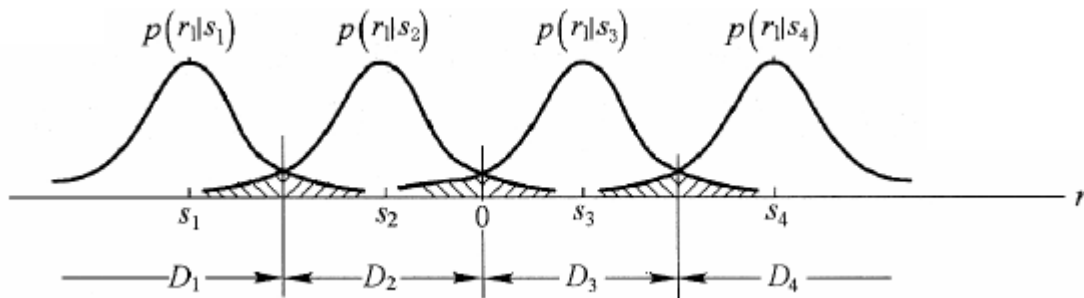
■  $M=2$



$$V_T=0$$

$$p(e|s_1) = \int_0^{\infty} p(r_1|s_1) dr_1 = Q\left(\sqrt{\frac{d_{\min}^2}{2N_0}}\right), \quad p_b = Q\left(\sqrt{\frac{2E_b}{N_0}}\right) = Q\left(\sqrt{\frac{d_{\min}^2}{2N_0}}\right) \quad (\text{等概时})$$

■  $M=4$



$$P_e = Q\left(\sqrt{\frac{d_{\min}^2}{2N_0}}\right)$$

$$P_M = p_1 \cdot P_e + p_2 \cdot 2P_e + p_3 \cdot 2P_e + p_4 \cdot P_e = \frac{3}{2}P_e (\text{等概时})$$

## 6.4.4 MASK

$$f_1(t) = \sqrt{\frac{2}{E_g}} \cos \omega_c t$$

■ 推广：对于  $M = 2^k$

$$d_{\min} = 2\sqrt{\frac{E_g}{2}} = \sqrt{2E_g}$$

$$P_M = \frac{2(M-1)}{M} Q \left( \sqrt{\frac{d_{\min}^2}{2N_0}} \right) = \frac{2(M-1)}{M} Q \left( \sqrt{\frac{E_g}{N_0}} \right)$$

■ 第  $i$  个 MASK 信号波形的能量：

$$E_i = |s_i|^2 = \frac{E_g a_i^2}{2}, i = 1, \dots, M$$

平均符号能量：

$$E_{\text{avg}} = \frac{1}{M} \sum_{i=1}^M E_i = \frac{E_g}{2M} \sum_{i=1}^M (2i-1-M)^2 = \frac{M^2-1}{6} E_g$$

平均比特能量：

$$E_b = \frac{E_{\text{avg}}}{\log_2 M} = \frac{M^2-1}{6 \log_2 M} E_g$$

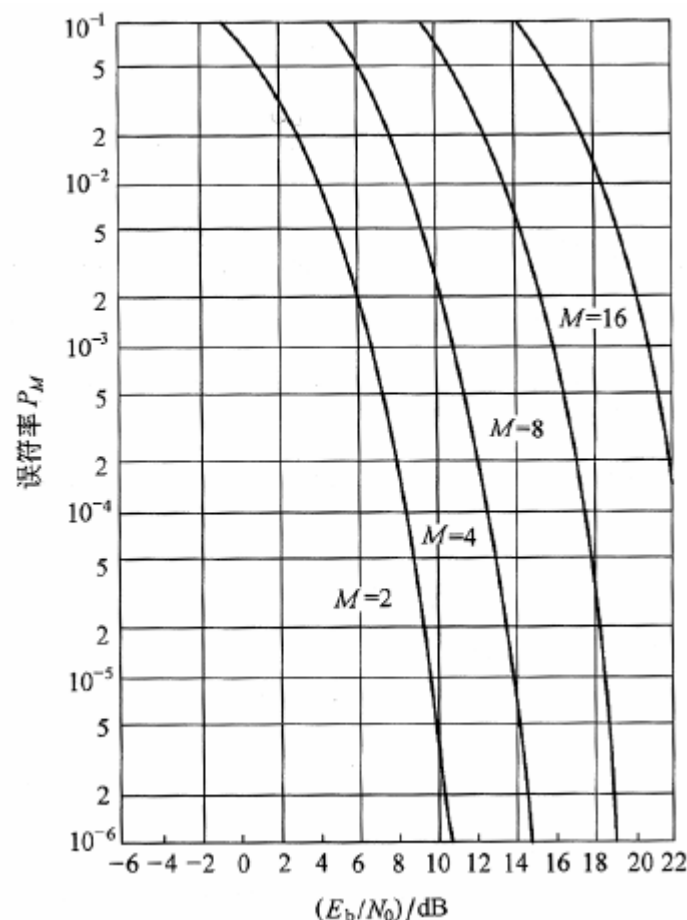
$$P_M = \frac{2(M-1)}{M} Q \left( \sqrt{\frac{6 \log_2 M}{M^2-1} \frac{E_b}{N_0}} \right)$$



## 6.4.4 MASK

- 误符号率  $P_M$ ：理论信噪比一定， $M \uparrow$ ， $P_M \uparrow$ 。
- 误比特率  $P_b$ ：格雷编码映射下，近似有

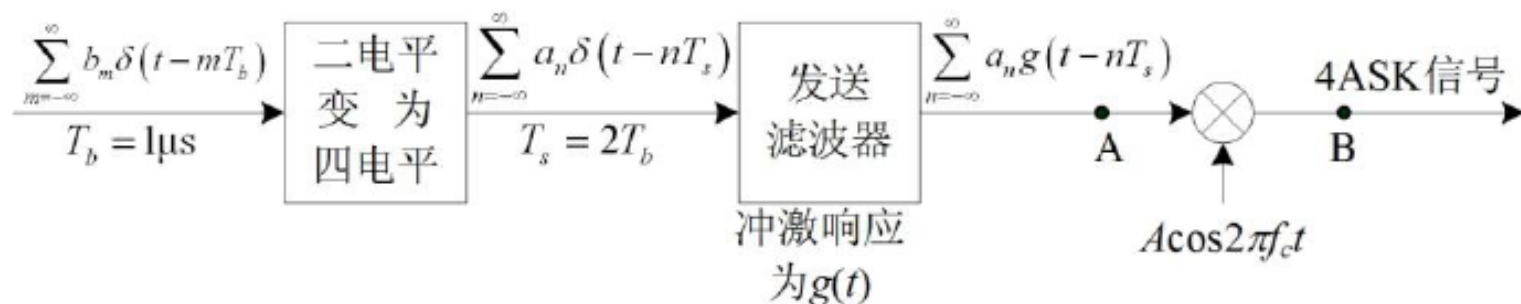
$$P_b \approx \frac{P_M}{\log_2 M}$$



# 例题5

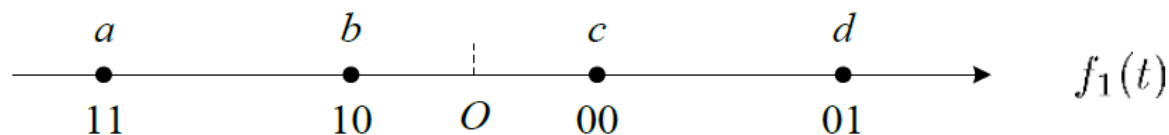
6. 错误!未定义书签。 下图是 4ASK 的产生框图，其中  $\{b_m\}$  是速率为 1Mbps 的独立等概二进制序列， $b_m \in \{1, 0\}$ ， $a_n \in \{-3, -1, +1, +3\}$ ， $\{a_n\}$  是独立等概的四

进制序列。  $g(t) = \begin{cases} \sqrt{\frac{2}{T_s}} & 0 \leq t \leq T_s \\ 0 & \text{else} \end{cases}$ 。求 A 点和 B 点的功率谱密度，并画图。



# 例:

五、(10 分) 某 4ASK 系统的输入速率为 2Mbps, 已知输入的比特序列为独立但不等概序列, 其中“0”的出现概率是  $1/4$ 。该系统发送信号的星座图如下



其中 a、b、c、d 四个点的坐标分别是  $-3, -1, 1, 3$ , 基函数  $f_1(t) = g(t) \cos 2\pi f_c t$ ,  $g(t)$  是能量为 2、滚降系数为 0.5 的根升余弦成形脉冲。

- 1) 求 a、b、c、d 各点的出现概率。
- 2) 求 a、b、c、d 各点所对应波形  $s_a(t), s_b(t), s_c(t), s_d(t)$  的能量。
- 3) 求该系统发送信号的平均符号能量  $E_s$ 、平均比特能量  $E_b$ 。
- 4) 画出发送信号的功率谱密度示意图。

## 6.4.5 MPSK

- MPSK: 在一个M进制符号间隔内, M种可能符号对应M种可能的载波相位

$$s_i(t) = g_T(t) \cos \left[ 2\pi f_c t + \frac{2\pi(i-1)}{M} \right] = g_T(t) \cos[2\pi f_c t + \theta_i]$$

$$= g_T(t) [\cos\theta_i \cos 2\pi f_c t - \sin\theta_i \sin 2\pi f_c t]$$

$$= g_T(t) [a_{i_c} \cos 2\pi f_c t - a_{i_s} \sin 2\pi f_c t], i = 1, \dots, M, 0 \leq t \leq T_s$$

$$\begin{cases} a_{i_c} = \cos\theta_i = \cos \left[ \frac{2\pi(i-1)}{M} \right] \\ a_{i_s} = \sin\theta_i = \sin \left[ \frac{2\pi(i-1)}{M} \right] \end{cases} \quad \text{且 } a_{i_c}^2 + a_{i_s}^2 = 1$$

- MPSK各信号波形等能量:

$$E_s = \int_0^{T_s} s_i^2(t) dt = \int_0^{T_s} \frac{1}{2} g_T^2(t) dt = \frac{E_g}{2}, \quad i = 1, 2, \dots, M$$

- MPSK有两个坐标轴, 却是一维调制: 两坐标一约束  $\rightarrow$  1 DoF

## 6.4.5 MPSK

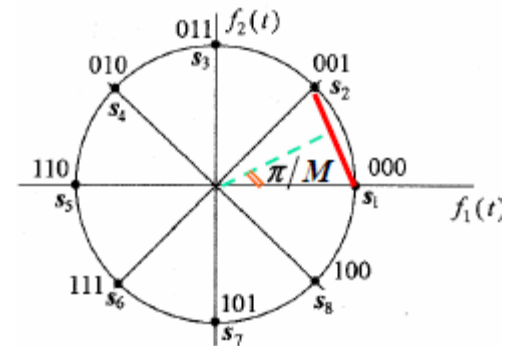
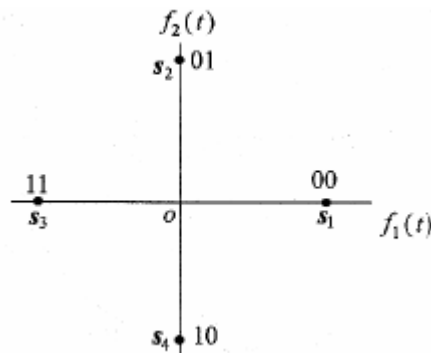
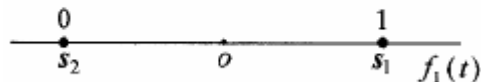
$$s_i(t) = g_T(t) [a_{i_c} \cos \omega_c t - a_{i_s} \sin \omega_c t], \quad 0 \leq t \leq T_s$$

$$\begin{aligned} \blacksquare \quad f_1(t) &= \sqrt{2/E_g} g_T(t) \cos 2\pi f_c t \\ f_2(t) &= -\sqrt{2/E_g} g_T(t) \sin 2\pi f_c t \end{aligned} \quad \longrightarrow \quad s_i(t) = s_{i1} f_1(t) + s_{i2} f_2(t)$$

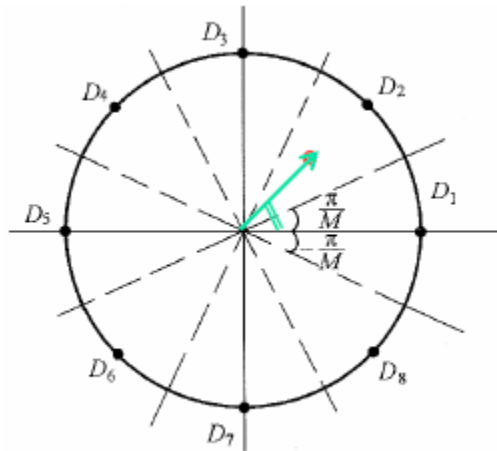
$$\begin{aligned} \blacksquare \quad s_{i1} &= \int_0^{T_s} s_i(t) f_1(t) dt = \sqrt{E_s} a_{i_c} \\ s_{i2} &= \int_0^{T_s} s_i(t) f_2(t) dt = \sqrt{E_s} a_{i_s} \end{aligned} \quad \longrightarrow \quad s_i = [s_{i1}, s_{i2}] = [\sqrt{E_s} a_{i_c}, \sqrt{E_s} a_{i_s}]$$

$\text{且 } a_{i_c}^2 + a_{i_s}^2 = 1$

$$\blacksquare \quad d_{\min} = 2\sqrt{E_s} \sin \frac{\pi}{M}$$



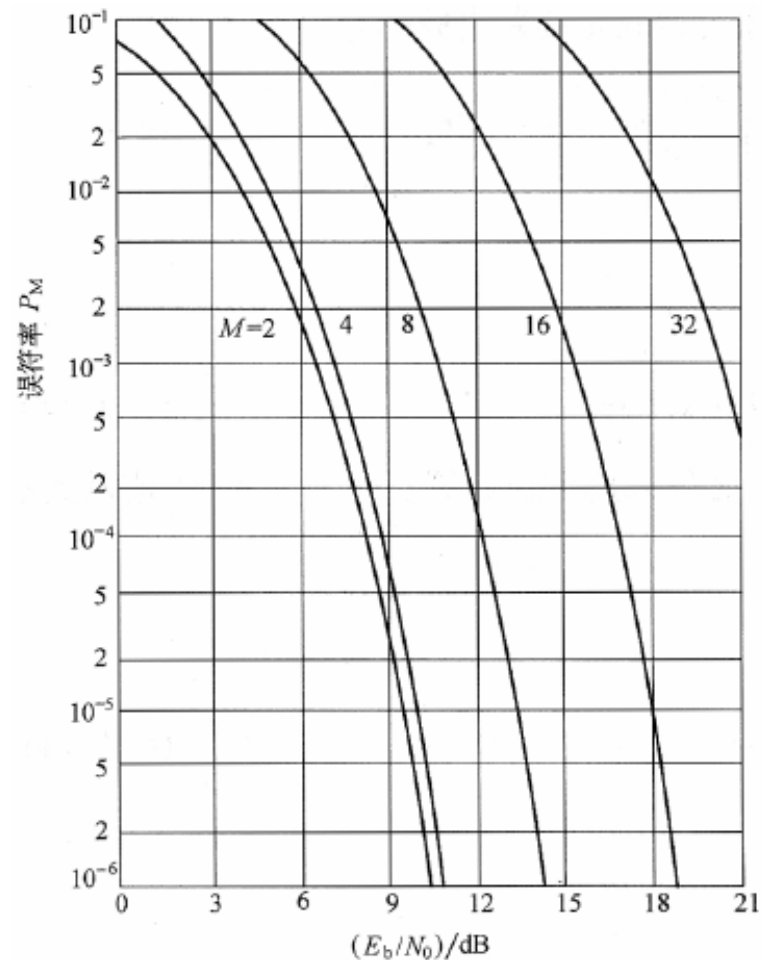
## 6.4.5 MPSK



$$\blacksquare P(e|s_1) = 1 - \int_{-\pi/M}^{\pi/M} p(\theta_r | s_1) d\theta_r$$

$$\blacksquare P_M = \sum_{i=1}^M P(s_i) P(e|s_i)$$

$$\approx 2Q\left(\sqrt{\frac{2 \log_2 M \cdot E_b}{N_0}} \sin \frac{\pi}{M}\right)$$



## 6.4.6 QAM

- **QAM**由两个正交载波的**MASK**信号叠加而成

$$s_{QAM}(t) = a_{i_c} g_T(t) \cos \omega_c t - a_{i_s} g_T(t) \sin \omega_c t, i = 1, \dots, M, \quad 0 \leq t \leq T_s$$

$$a_{i_c}, a_{i_s} \in \{\pm 1, \pm 3, \dots, \pm \sqrt{M}\}, \quad a_{i_c}^2 + a_{i_s}^2 = 1, 9, \dots, M$$

$$s_{QAM}(t) = \text{Re}\{V_i e^{j\theta_i} g_T(t) e^{j\omega_c t}\}$$

$$V_i = \sqrt{a_{i_c}^2 + a_{i_s}^2}, \quad \theta_i = \text{atan}\left(\frac{a_{i_s}}{a_{i_c}}\right)$$

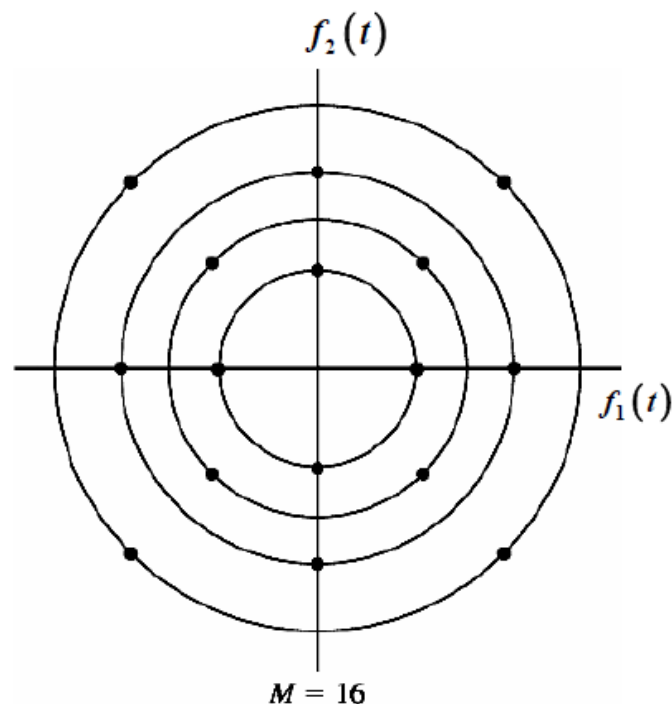
~ 数字振幅和数字相位  
联合调制(PAM-PSK)

- QAM信号的矢量表示

$$f_1(t) = \sqrt{\frac{2}{E_g}} g_T(t) \cos \omega_c t$$

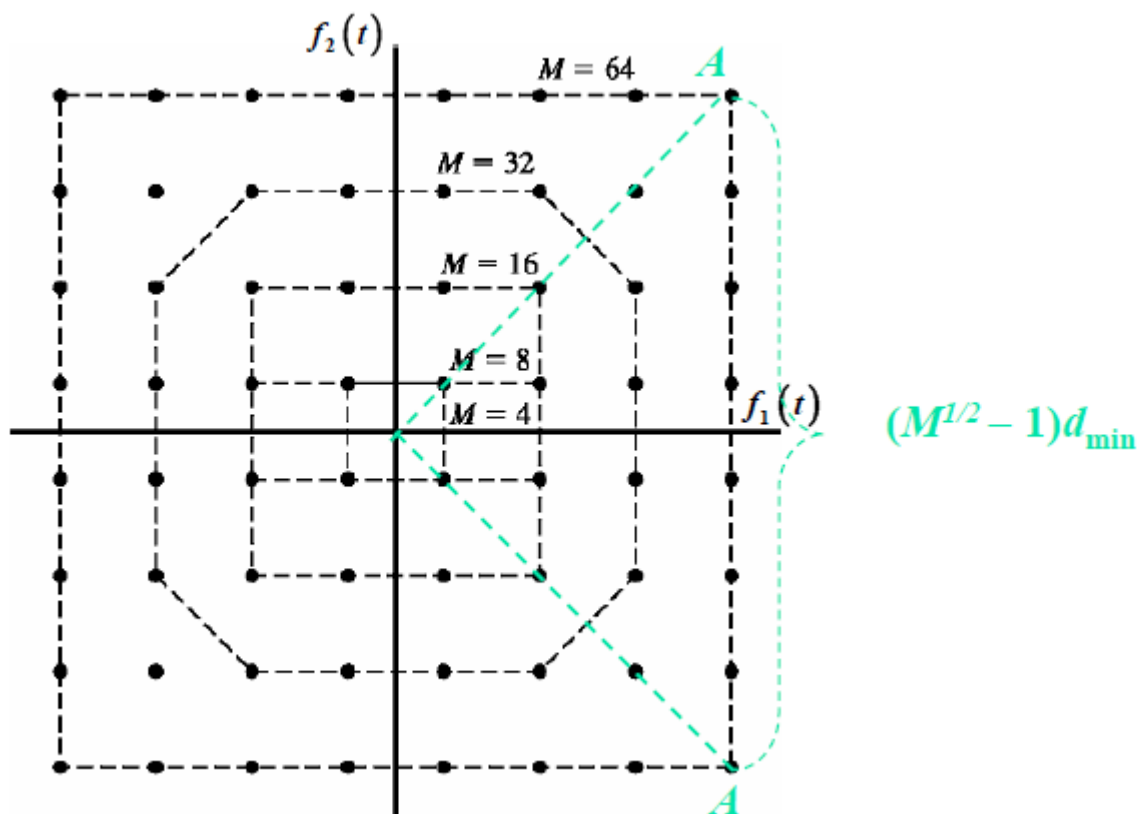
$$f_2(t) = -\sqrt{\frac{2}{E_g}} g_T(t) \sin \omega_c t$$

→  $s_i = [s_{i1}, s_{i2}] = \sqrt{E_g/2} [a_{i_c}, a_{i_s}]$



## 6.4.6 QAM

- 矩形QAM信号星座：可分解为两路独立正交的 $M^{1/2}$ 进制PAM信号，调制解调较为简单



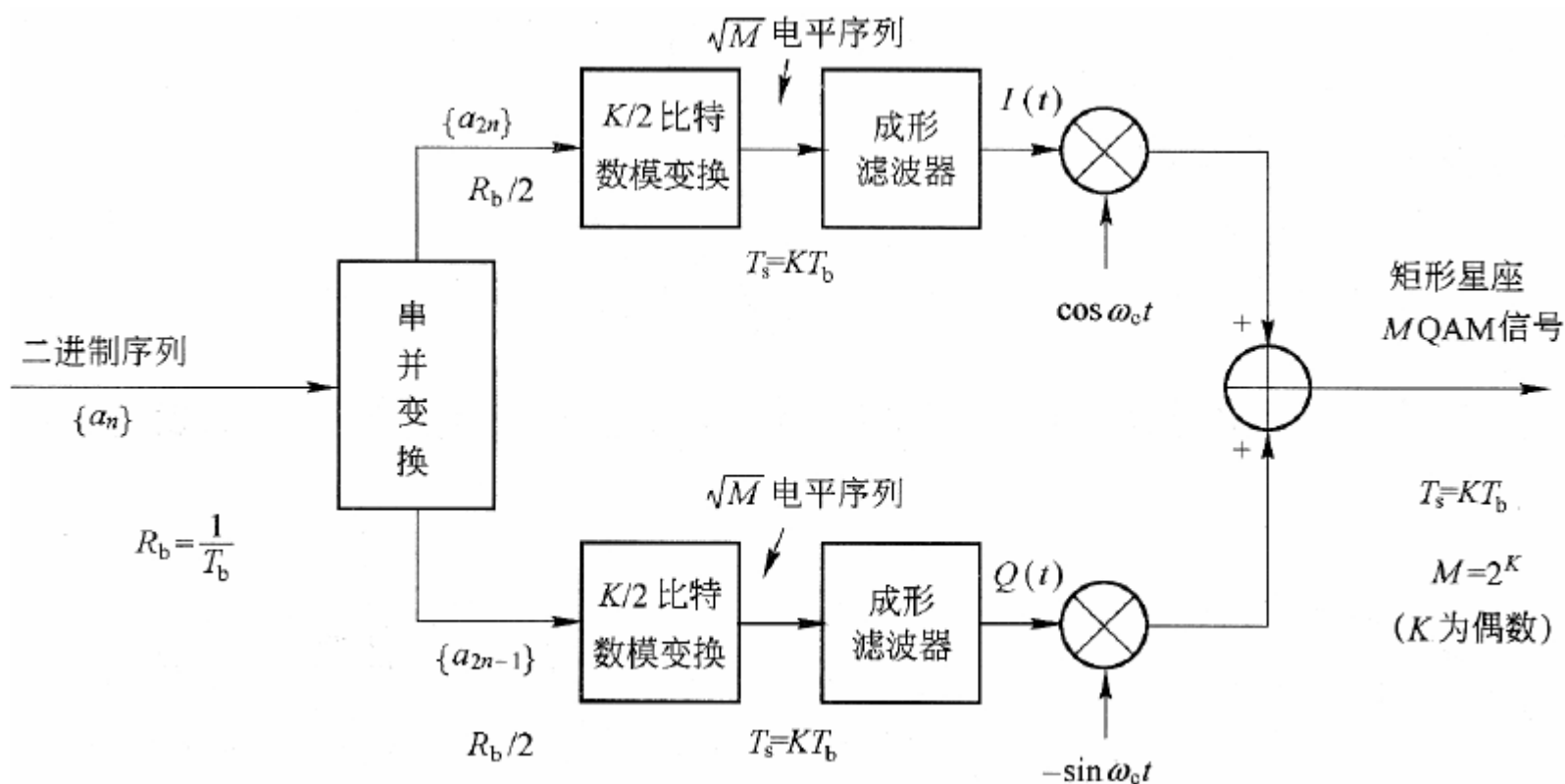
$A \sim$  最大振幅

$$d_{\min} = \frac{\sqrt{2}A}{\sqrt{M} - 1}$$

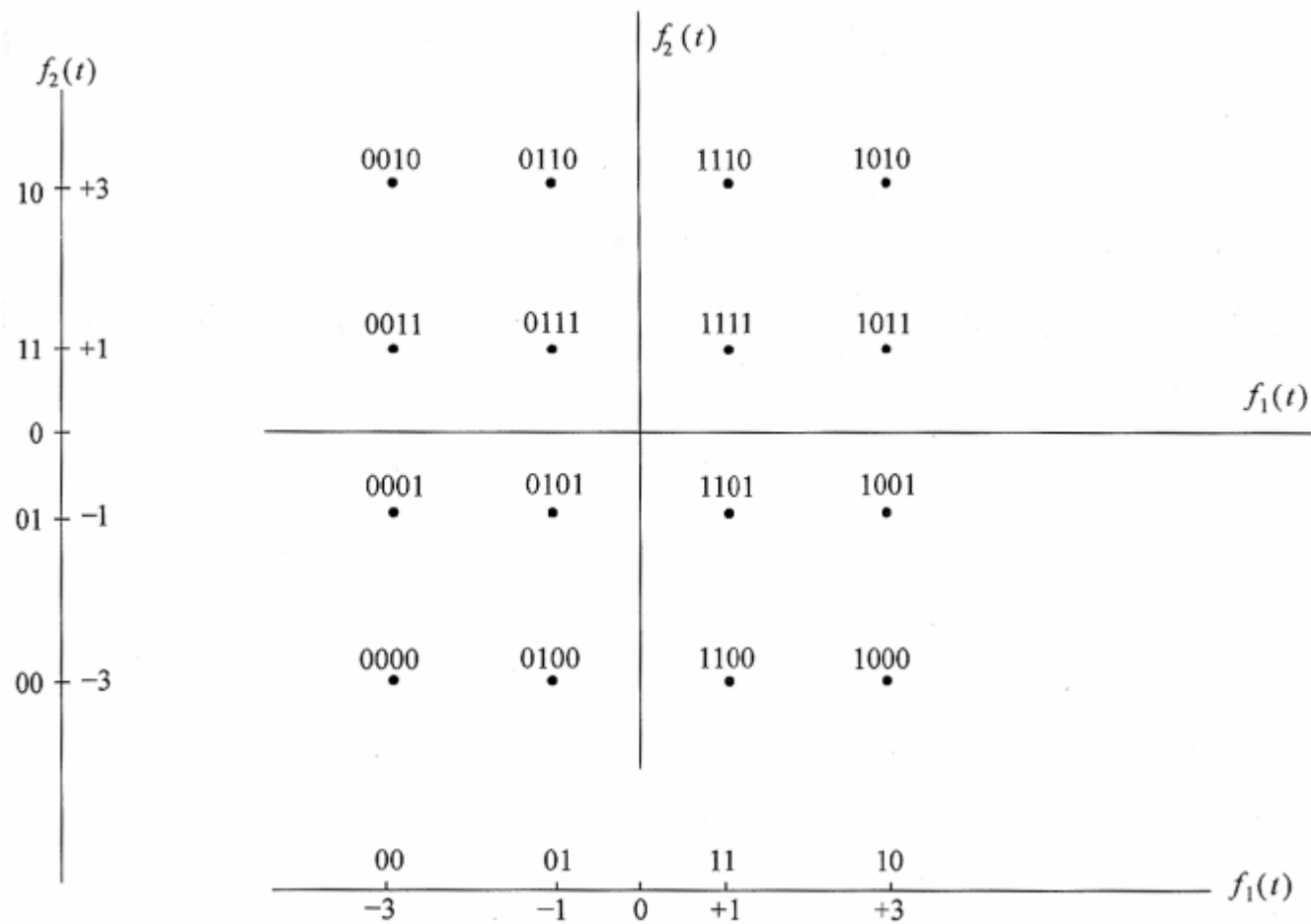


## 6.4.6 QAM

$$s_{QAM}(t) = a_{i_c} g_T(t) \cos \omega_c t - a_{i_s} g_T(t) \sin \omega_c t, \quad i = 1, 2, \dots, M, \quad 0 \leq t \leq T_s$$

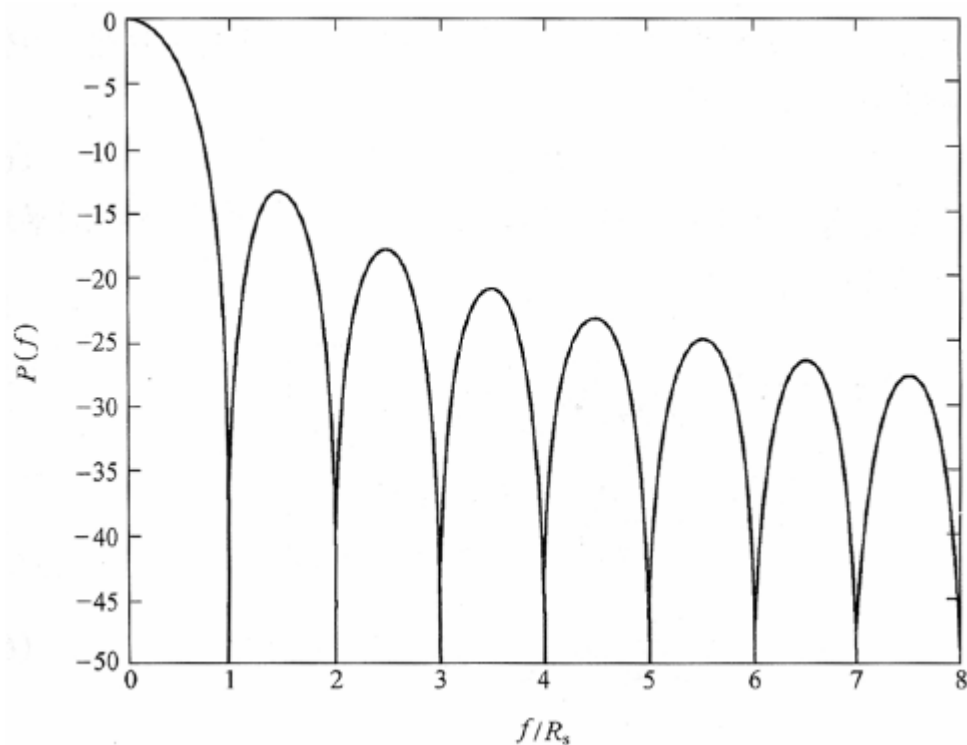


## 6.4.6 QAM



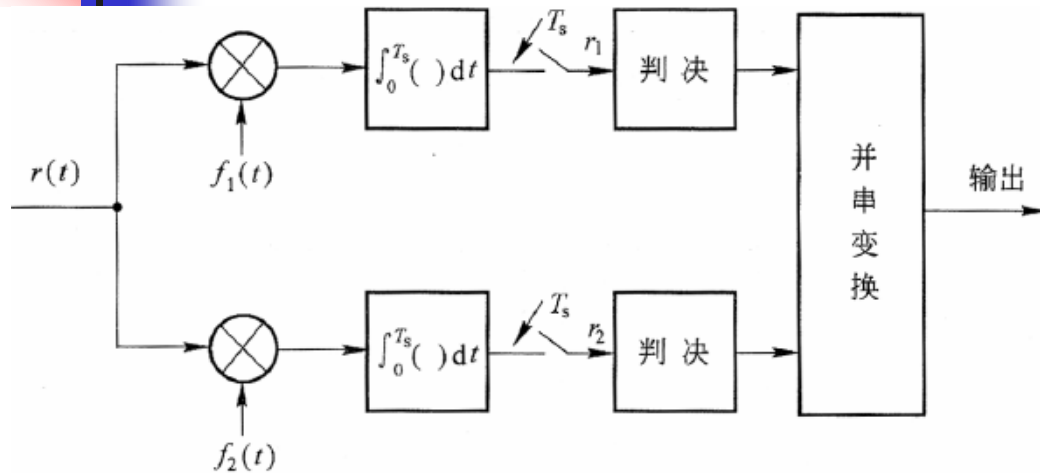
## 6.4.6 QAM

- **MAQM**的功率谱：同相及正交支路的平均功率谱密度之和



- $B = 2R_s = \frac{2R_b}{\log_2 M}$
- $\eta = \frac{R_b}{B} = \frac{R_b}{2 \frac{R_b}{\log_2 M}} = \frac{\log_2 M}{2} \text{ bit/s/Hz}$

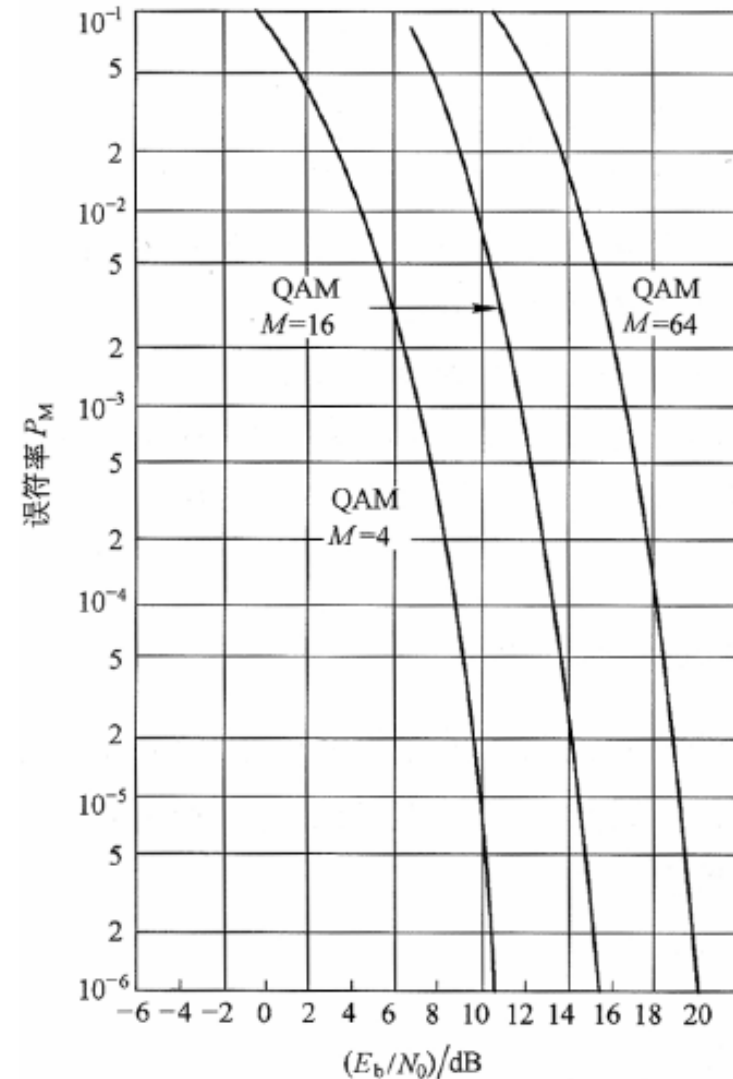
## 6.4.6 QAM



- $$P_c = (1 - P_{\sqrt{M}})^2$$

$$P_{\sqrt{M}} = 2 \left( 1 - \frac{1}{\sqrt{M}} \right) Q \left( \sqrt{\frac{3 \log_2 M}{M-1} \cdot \frac{E_b}{N_0}} \right)$$

- $$P_M = 1 - P_c = 1 - (1 - P_{\sqrt{M}})^2$$



## 6.4.6 QAM

- $P_{M-PSK} \approx 2Q\left(\sqrt{2\frac{E_{av}}{N_0} \cdot \sin^2 \frac{\pi}{M}}\right)$
- $P_{M-QAM} \approx 4\left(1 - \frac{1}{\sqrt{M}}\right)Q\left(\sqrt{\frac{3}{M-1} \cdot \frac{E_{av}}{N_0}}\right)$

$$\mathfrak{R}_M = \frac{3/(M-1)}{2 \sin^2 \pi/M} \sim \text{两系统获得相同误符率所需的理论SNR之比}$$

- $M = 4: \mathfrak{R}_M = 1$

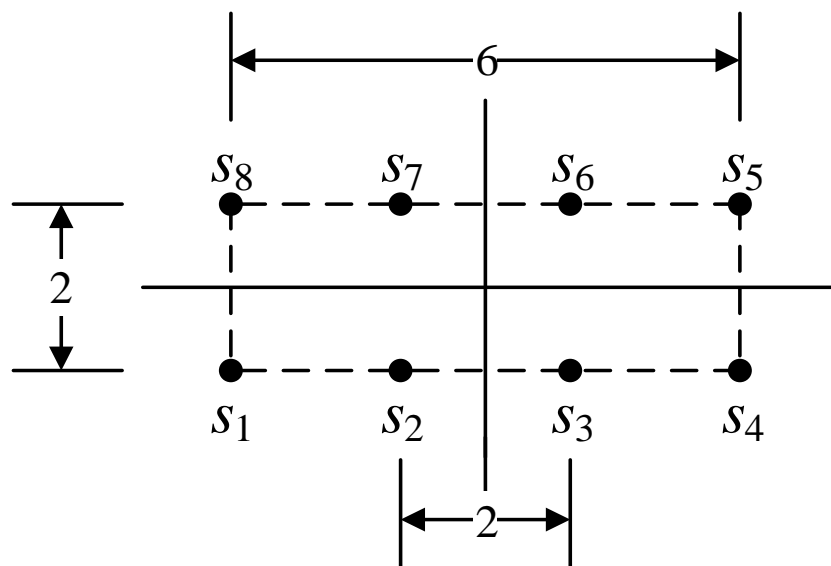
- $M > 4: \mathfrak{R}_M > 1$

即**MQAM**好于**MPSK**.

M	$10 \lg \mathfrak{R}_M$ (dB)
8	1.65
16	4.20
32	7.02
64	9.95

# 例1:

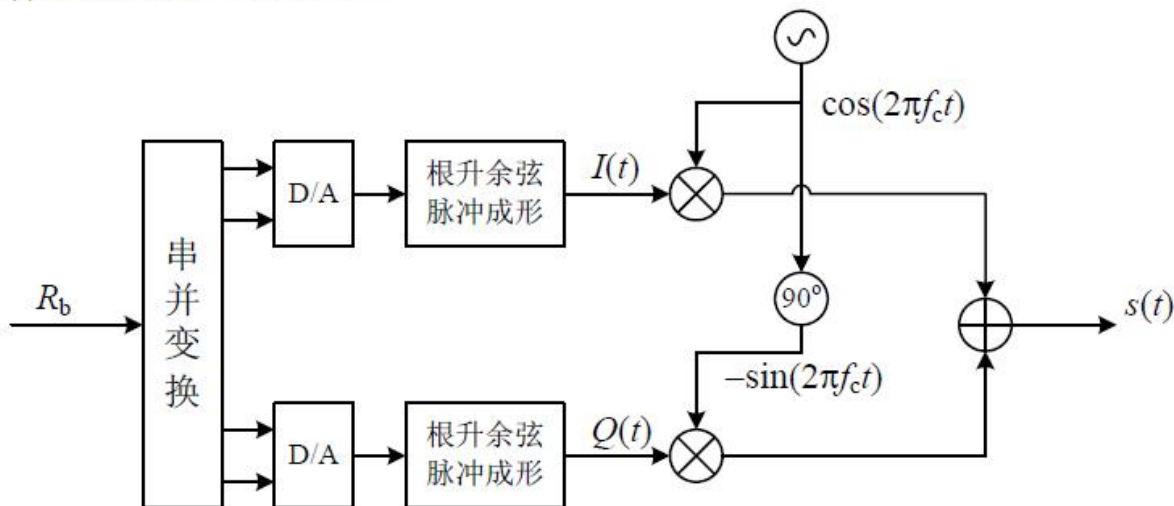
某8进制调制在归一化正交基下的星座图如下所示。假设各星座点等概出现，信道中加性白高斯噪声的双边功率谱密度是 $\frac{N_0}{2} = \frac{1}{2}$ 。



- (1) 求平均符号能量 $E_S$ 、最小星座点距离,并标出 $s_1$ 的佳判决域；
- (2) 按格雷码映射规则标注出各星座点所携带的比特；
- (3) 求发送 $s_1$ 条件下误判为 $s_2, s_3, s_4$ 之一的总概率。

# 例题2

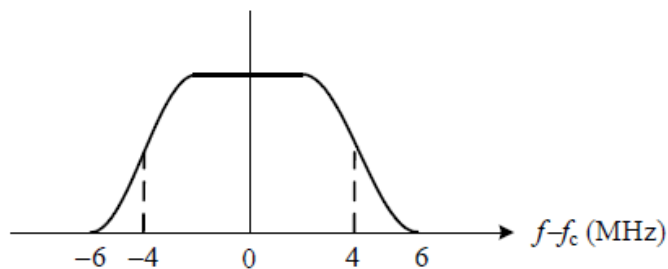
五、(12分) 下图所示为一个 16QAM 系统，已知该系统的滚降系数是 0.5，发送信号  $s(t)$  的带宽是 12MHz。



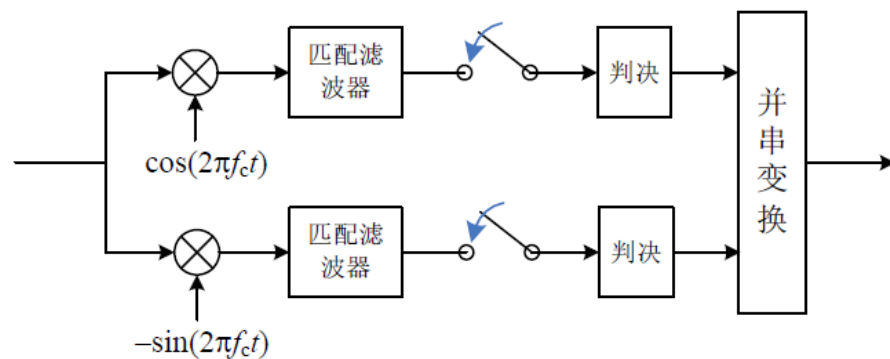
(1) 求该系统的数据传输速率  $R_b$ 。

$$R_s(1+\alpha) = B, \quad R_s = \frac{12}{1+0.5} = 8 \text{ MBaud}, \quad R_b = 4R_s = 32 \text{ Mbps}$$

(2) 画出  $s(t)$  的功率谱图。

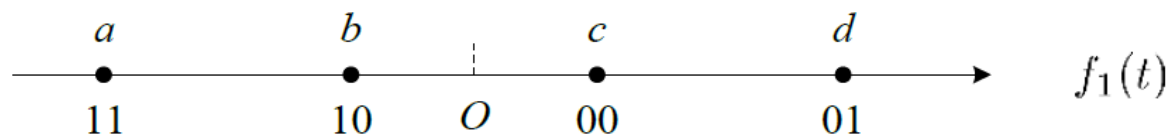


(3) 画出接收框图。



# 例:

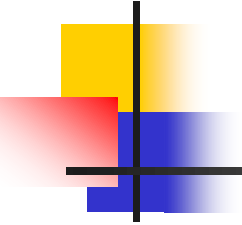
五、(10 分) 某 4ASK 系统的输入速率为 2Mbps, 已知输入的比特序列为独立但不等概序列, 其中“0”的出现概率是 1/4。该系统发送信号的星座图如下



其中 a、b、c、d 四个点的坐标分别是 -3, -1, 1, 3, 基函数  $f_1(t) = g(t) \cos 2\pi f_c t$ ,  $g(t)$  是能量为 2、滚降系数为 0.5 的根升余弦成形脉冲。

- 1) 求 a、b、c、d 各点的出现概率。
- 2) 求 a、b、c、d 各点所对应波形  $s_a(t)$ ,  $s_b(t)$ ,  $s_c(t)$ ,  $s_d(t)$  的能量。
- 3) 求该系统发送信号的平均符号能量  $E_s$ 、平均比特能量  $E_b$ 。
- 4) 画出发送信号的功率谱密度示意图。



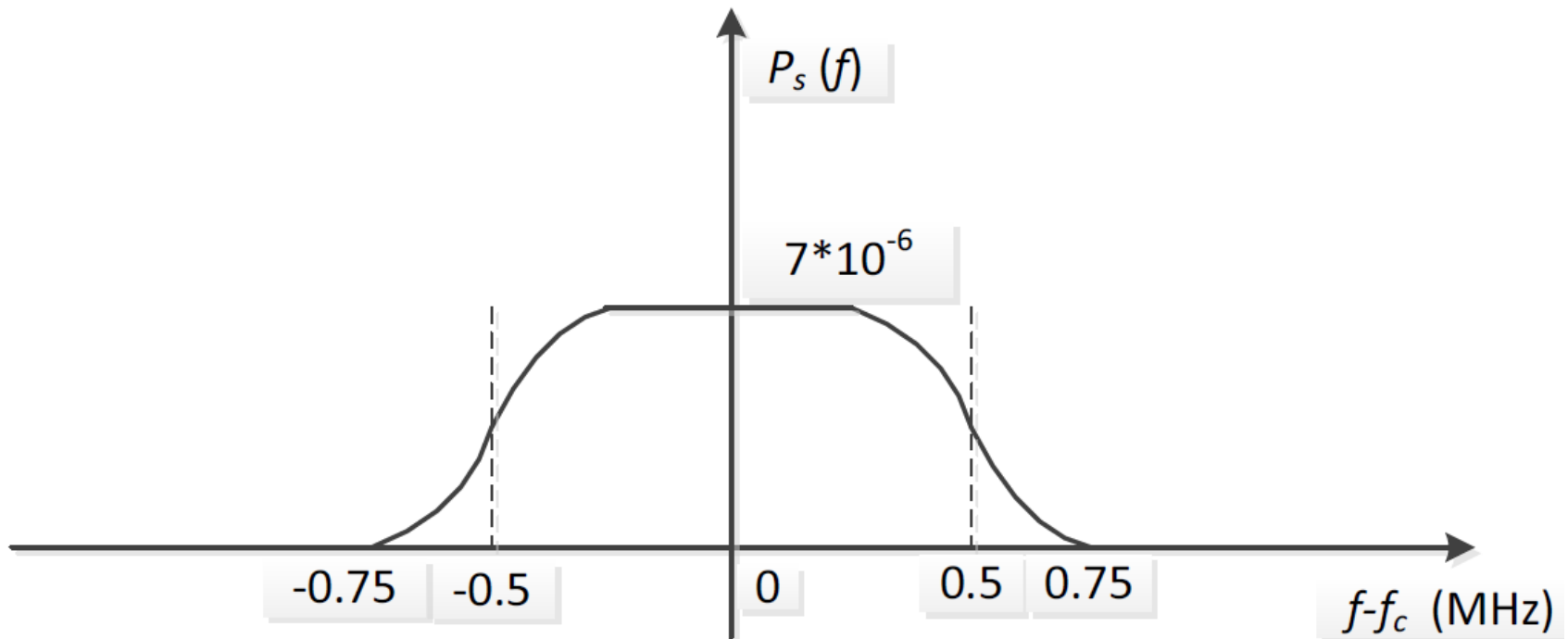


1)  $p_a = \frac{9}{16}, p_b = p_d = \frac{3}{16}, p_c = \frac{1}{16}$

2)  $S_a = S_d = 9, S_b = S_c = 1$

3)  $E_s = \sum_{i=1}^4 p_i S_i = 7, E_b = \frac{E_s}{2} = 3.5$

4)



## 6.4.7 MFSK信号表示

- $s_{i,MFSK}(t) = \sqrt{\frac{2E_s}{T_s}} \cos[2\pi f_c t + 2\pi i \Delta f t], i = 1, \dots, M, 0 \leq t \leq T_s$   
 $= \text{Re}\{V_i(t)e^{j2\pi f_c t}\}$  with  $V_i(t) = \sqrt{\frac{2E_s}{T_s}} e^{j2\pi i \Delta f t}$

- 各信号波形等能量:  $E_s = \int_{-\infty}^{\infty} s_i^2(t) dt$

- 各信号波形之间的互相关系数

$$\begin{aligned}\rho_{mk} &= \frac{1}{E_s} \int_{-\infty}^{\infty} s_m(t) s_k(t) dt \\ &= \frac{2}{T_s} \int_0^{T_s} [\cos 2\pi(f_c + k\Delta f)t \cdot \cos 2\pi(f_c + m\Delta f)t] dt \\ &= \text{sinc}[2(m-k)\Delta f T_s]\end{aligned}$$

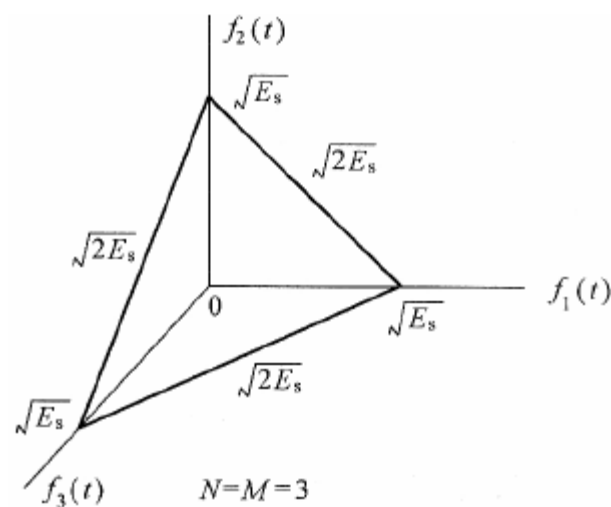
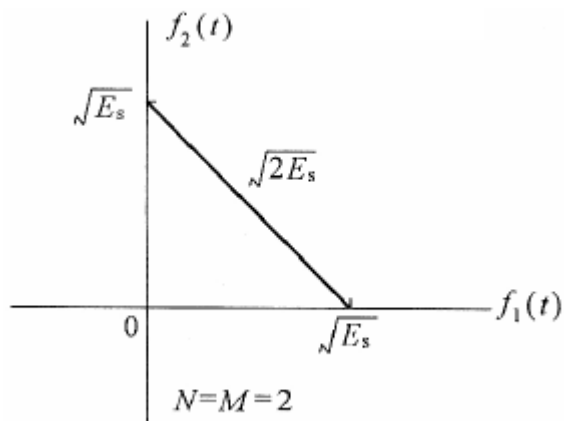
$$\Delta f = \frac{1}{2T_s}, \quad \rho_{km} = 0 \quad \longrightarrow \quad \text{正交MFSK}$$

## 6.4.7 MFSK矢量表示（星座图）

$$s_i(t) = \sqrt{E_s} f_i(t), \quad i = 1, 2, \dots, M, \quad 0 \leq t \leq T_s$$

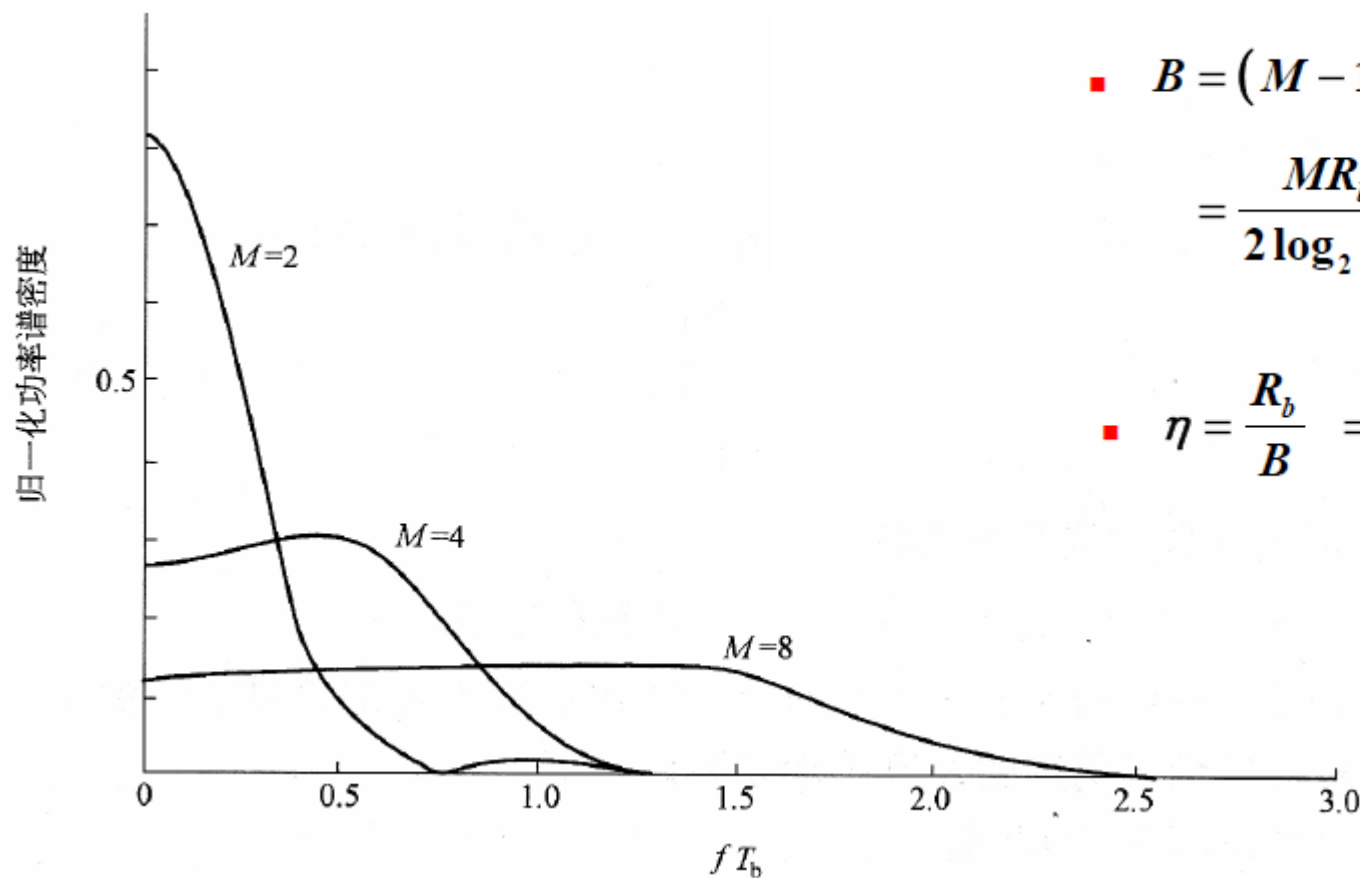
$$\text{where } f_i(t) = \sqrt{2/T_s} \cos 2\pi(f_c + i\Delta f)t, \quad i = 1, \dots, M$$

$$\rightarrow \begin{cases} s_1 = (\sqrt{E_s}, 0, 0, \dots, 0) \\ s_2 = (0, \sqrt{E_s}, 0, \dots, 0) \\ \vdots \\ s_M = (0, 0, \dots, 0, \sqrt{E_s}) \end{cases} \rightarrow d_{kn} = \sqrt{2E_s}, \quad \forall k, n$$



## 6.4.7 MFSK的功率谱密度

给定 $\Delta f = 1/2T_s$ ，正交MFSK信号的复包络功率谱密



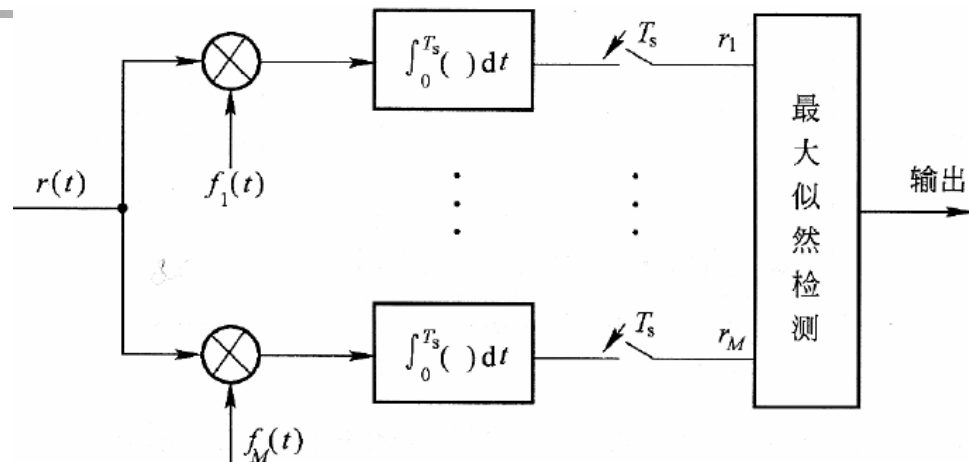
$$\begin{aligned} \blacksquare \quad B &= (M-1)\Delta f + \frac{2}{T_s} \approx \frac{M}{2T_s} \\ &= \frac{MR_b}{2\log_2 M} \end{aligned}$$

$$\blacksquare \quad \eta = \frac{R_b}{B} = \frac{\log_2 M}{M} \text{ bit/s/Hz}$$

## 6.4.7 MFSK的最佳接收

$$\begin{aligned} \mathbf{r}|\mathbf{s}_1 &= [r_1, \dots, r_M] \\ &= [\sqrt{E_s} + n_1, n_2, \dots, n_M] \end{aligned}$$

$$n_1, n_2, \dots, n_M : i.i.d., \sim N\left(0, \frac{N_0}{2}\right)$$



**AWGN**信道下，发送信号独立等概且等能量：**MAP=ML=MED=MC**

发送 $\mathbf{s}_1$ 而错判为 $\mathbf{s}_i$ 的错判事件发生的条件为： $E_i = \{\sqrt{E_s} + n_1 < n_i\}$

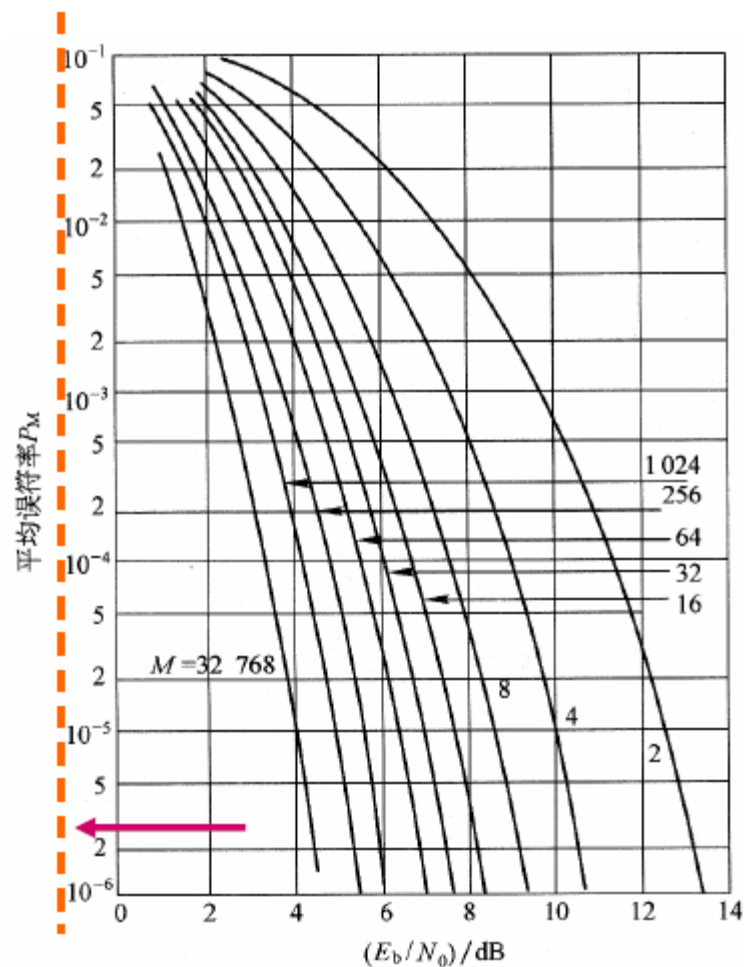
发送 $\mathbf{s}_1$ 的正确判决事件为： $\mathbf{C} = \prod_{i=2}^M \{\sqrt{E_s} + n_1 > n_i\}$

发送 $\mathbf{s}_1$ 的正确判决概率： $\Pr\{\mathbf{C}\} = \Pr\left\{\prod_{i=2}^M \{\sqrt{E_s} + n_1 > n_i\}\right\} = \prod_{i=2}^M (1 - \Pr\{E_i\})$

发送 $\mathbf{s}_1$ 的错判概率：

$$p_1 = 1 - \left(1 - Q\left(\sqrt{\frac{E_s}{N_0}}\right)\right)^{M-1} \simeq M \cdot Q\left(\sqrt{\frac{E_s}{N_0}}\right) = M \cdot Q\left(\sqrt{\frac{E_b \log_2 M}{N_0}}\right) = p_M$$

- **M**增加，带宽增加，误符率降低。（有效性换可靠性）

$$\frac{E_b}{N_0} > \ln 2 \quad (-1.6\text{dB})$$
$$P_b \approx \frac{P_M}{2}$$




# 例:

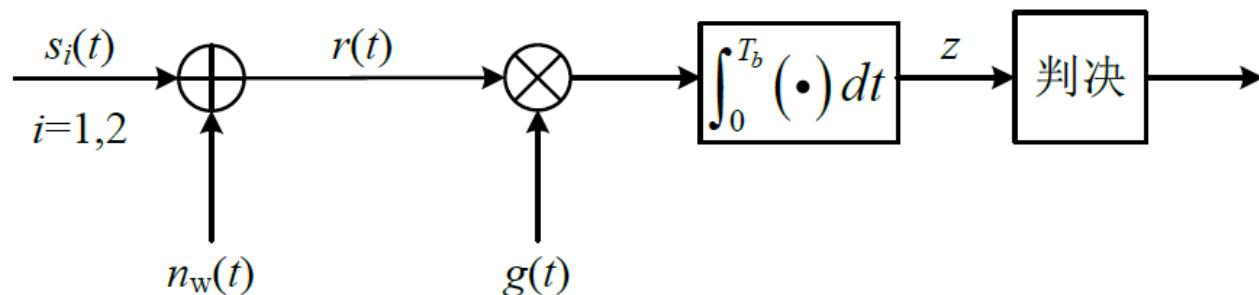
四、(10 分) 某系统在时间区间  $0 \leq t \leq 2$  时间内等概发送如下两个信号之一

$$\begin{cases} s_1(t) = 2 \cos 20\pi t \\ s_2(t) = \cos 22\pi t \end{cases} \quad 0 \leq t \leq 2$$

至接收端时叠加了双边功率谱密度为  $N_0/2$  的加性白高斯噪声。

- 1) 求  $s_1(t)$  和  $s_2(t)$  的能量。
- 2) 设  $f_1(t) = \cos 20\pi t$ 、 $f_2(t) = \cos 22\pi t$ ， $0 \leq t \leq 2$  是一组正交基，试画出此系统的星座图，并求星座点之间的欧氏距离。
- 3) 画出该系统匹配滤波器最佳接收框图。
- 4) 推导最佳接收的判决错误概率。

三、(12 分) 某 2FSK 系统在  $[0, T_b]$  时间内等概发送  $s_1(t) = \sqrt{2} \cos(10\pi t)$  或  $s_2(t) = \sqrt{2} \cos(12\pi t)$  之一。接收框图如下所示, 图中  $n_w(t)$  是双边功率谱密度为  $N_0/2$  的零均值加性白高斯噪声,  $g(t) = 2 \sin(\pi t) \sin(11\pi t)$ , 判决门限为 0。



- (1) 求能使  $s_1(t)$  和  $s_2(t)$  正交的最小  $T_b$  值。
- (2) 求发送  $s_1(t)$  条件下, 判决量  $z$  的均值、方差及概率密度函数  $f_1(z)$ 。  
求发送  $s_1(t)$  条件下判决出现错误的概率。

频差是 1Hz, 最小频差是  $1/(2T_b)$ , 因此  $T_b = 0.5\text{s}$

$$g(t) = 2 \sin(\pi t) \sin(11\pi t) = \cos 10\pi t - \cos 12\pi t = \frac{s_1(t) - s_2(t)}{\sqrt{2}}$$

$$f_1(z) = \frac{1}{\sqrt{\pi N_0 T_b}} \exp \left( -\frac{\left( z - \frac{T_b}{\sqrt{2}} \right)^2}{N_0 T_b} \right) \quad \frac{1}{2} \operatorname{erfc} \left( \sqrt{\frac{T_b}{2 N_0}} \right)$$